

S-19509系列是采用高耐压CMOS技术开发的高耐压、带复位功能、内置看门狗定时器的低压差型正电压电压稳压器。看门狗定时器的监视时间可通过外接电容器来调整。此外，还备有可监视输出电压的电压检测电路。

使用了本公司的电源IC时，根据用户的使用条件，本公司可提供“热模拟分析服务”，以支援用户的热设计工作。用户通过灵活应用此热模拟分析服务，可减少在开发阶段的热设计风险。

本公司还可提供根据用户的使用条件而计算的FIT值，以支援用户设计应对功能安全标准的产品。

详情请与代理商联系。

注意 本产品可使用于车辆器械、车载器械。考虑使用于车辆器械、车载器械时，请务必与代理商联系。

■ 特点

稳压器部分

- 输出电压：3.3 V、5.0 V
- 输入电压：3.0 V ~ 36.0 V
- 输出电压精度： $\pm 2.0\%$ ($T_j = -40^\circ\text{C} \sim +150^\circ\text{C}$)
- 输入输出电压差：100 mV (典型值) (5.0 V输出产品、 $I_{\text{OUT}} = 100 \text{ mA}$)
- 输出电流：可输出500 mA ($V_{\text{IN}} = V_{\text{OUT(S)}} + 1.0 \text{ V}$)*1
- 输入、输出电容器：能够使用大于或等于1.0 μF 的陶瓷电容器
- 内置过载电流保护电路：限制输出晶体管的过载电流
- 内置热敏关闭电路：检测温度170°C (典型值)
- 内置ON / OFF控制电路：能够延长电池的使用寿命

检测器部分

- 检测电压：在2.6 V ~ 4.7 V的范围内，可以0.1 V为进阶单位来选择
- 检测电压精度： $\pm 2.0\%$ ($T_j = -40^\circ\text{C} \sim +150^\circ\text{C}$)
- 滞后幅度：0.12 V (最小值)
- 可调整解除延迟时间*2：20 ms (典型值) ($C_{\text{DLY}} = 10 \text{ nF}$)

看门狗定时器部分

- 看门狗工作电流：1.5 mA (典型值)
- 可调整看门狗触发时间*2：46 ms (典型值) ($C_{\text{DLY}} = 10 \text{ nF}$)
- 自律看门狗工作功能：通过负载电流的检测，看门狗定时器工作
- 看门狗模式：超时模式

整体

- 消耗电流：3.2 μA (典型值) (稳压器工作时、看门狗定时器停止时)
0.1 μA (典型值) (稳压器停止时)
- 工作温度范围： $T_a = -40^\circ\text{C} \sim +125^\circ\text{C}$
- 无铅 (Sn 100%)、无卤素
- 可耐受45 V抛负载
- 符合AEC-Q100标准*3

*1. 请注意在输出大电流时，使IC的功耗不要超过容许功耗。

*2. 在DLY端子连接 C_{DLY} 后，可以调整解除延迟时间和看门狗触发时间。

*3. 详情请与代理商联系。

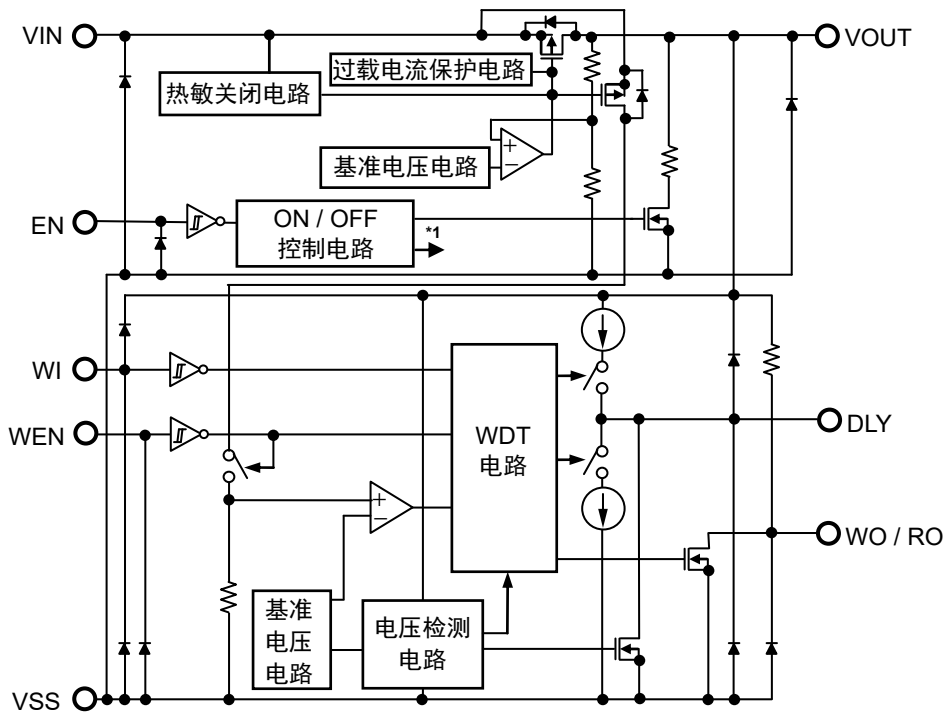
■ 用途

- 车载用电子装载设备的稳压电源、微机监视

■ 封装

- TO-252-9S
- HSOP-8A

■ 框图



*1. ON / OFF控制电路对内部电路和输出晶体管进行控制。

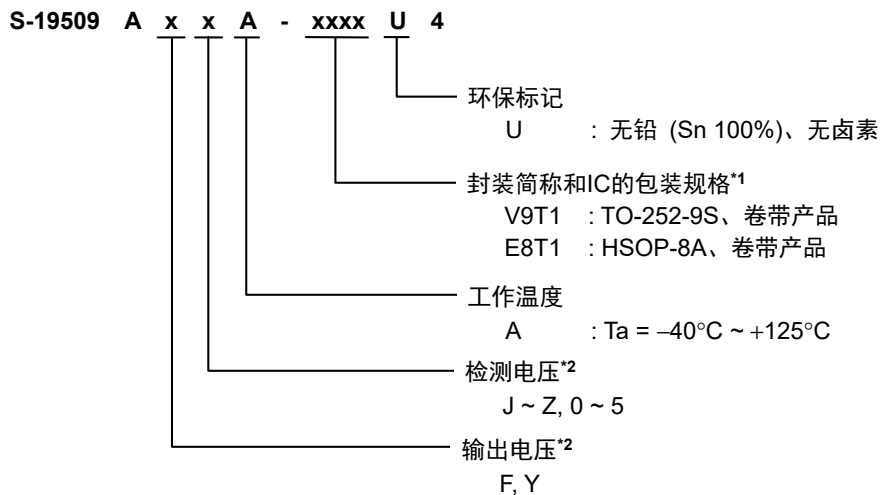
图1

■ 符合AEC-Q100标准

本IC符合AEC-Q100标准的工作温度等级1。
 有关AEC-Q100标准的信赖性测试详情，请与代理商联系。

■ 产品型号的构成

1. 产品名



*1. 请参阅卷带图。

*2. 请参阅 "2. 产品选项一览"。

2. 产品选项一览

表1 输出电压

设定输出电压	符号
5.0 V	F
3.3 V	Y

表2 检测电压

设定检测电压	符号
4.7 V	J
4.6 V	K
4.5 V	L
4.4 V	M
4.3 V	N
4.2 V	P
4.1 V	Q
4.0 V	R
3.9 V	S
3.8 V	T
3.7 V	U

设定检测电压	符号
3.6 V	V
3.5 V	W
3.4 V	X
3.3 V	Y
3.2 V	Z
3.1 V	0
3.0 V	1
2.9 V	2
2.8 V	3
2.7 V	4
2.6 V	5

备注 设定输出电压 ≥ 设定检测电压 + 0.3 V

3. 封装

表3 封装图纸号码

封装名	外形尺寸图	卷带图	带卷图	焊盘图
TO-252-9S	VA009-A-P-SD	VA009-A-C-SD	VA009-A-R-SD	VA009-A-L-SD
HSOP-8A	FH008-A-P-SD	FH008-A-C-SD	FH008-A-R-SD	FH008-A-L-SD

4. 产品名目录

表4

输出电压 (V_{OUT})	检测电压 ($-V_{DET}$)	TO-252-9S	HSOP-8A
3.3 V \pm 2.0%	2.8 V \pm 2.0%	S-19509AY3A-V9T1U4	S-19509AY3A-E8T1U4
3.3 V \pm 2.0%	2.9 V \pm 2.0%	S-19509AY2A-V9T1U4	S-19509AY2A-E8T1U4
3.3 V \pm 2.0%	3.0 V \pm 2.0%	S-19509AY1A-V9T1U4	S-19509AY1A-E8T1U4
5.0 V \pm 2.0%	4.2 V \pm 2.0%	S-19509AFPA-V9T1U4	S-19509AFPA-E8T1U4
5.0 V \pm 2.0%	4.6 V \pm 2.0%	S-19509AFKA-V9T1U4	S-19509AFKA-E8T1U4
5.0 V \pm 2.0%	4.7 V \pm 2.0%	S-19509AFJA-V9T1U4	S-19509AFJA-E8T1U4

备注 如果需要上述以外的产品时，请向代理商咨询。

■ 引脚排列图

1. TO-252-9S

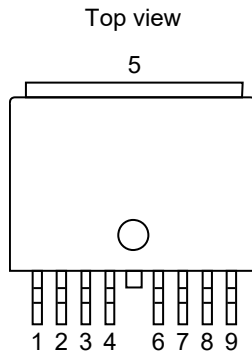


图2

表5

引脚号	符号	描述	
1	VOUT	电压输出端子 (稳压器部分)	
2	WEN	看门狗启用端子	
3	DLY	解除延迟时间、监视时间调整电容器连接端子	
4	NC*1	无连接	
5	VSS	接地 (GND) 端子	
6	WO / RO*2	WO	看门狗输出端子
		RO	复位输出端子
7	WI	看门狗输入端子	
8	EN	启用端子	
9	VIN	电压输入端子 (稳压器部分)	

*1. NC表示从电气的角度而言处于开路状态。所以，与VIN端子或VSS端子连接均无问题。

*2. WO / RO端子兼备看门狗输出端子和复位输出端子。

2. HSOP-8A

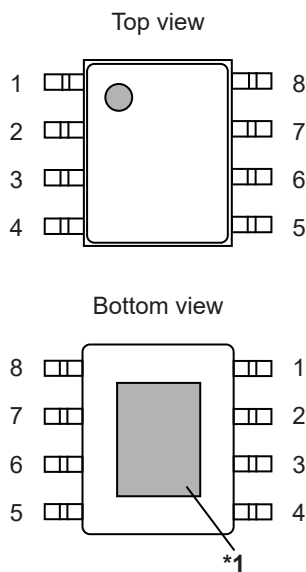


图3

表6

引脚号	符号	描述	
1	VOUT	电压输出端子 (稳压器部分)	
2	WEN	看门狗启用端子	
3	VSS	接地 (GND) 端子	
4	DLY	解除延迟时间、监视时间调整电容器连接端子	
5	WO / RO*2	WO	看门狗输出端子
		RO	复位输出端子
6	WI	看门狗输入端子	
7	EN	启用端子	
8	VIN	电压输入端子 (稳压器部分)	

*1. 请将阴影部分的底面散热板与基板连接，并将电位设置为GND。
 但请不要作为电极使用。

*2. WO / RO端子兼备看门狗输出端子和复位输出端子。

■ 绝对最大额定值

表7

(除特殊注明以外：T_j = -40°C ~ +150°C)

项目	符号	绝对最大额定值	单位
VIN端子电压	V _{IN}	V _{SS} - 0.3 ~ V _{SS} + 45.0	V
EN端子电压	V _{EN}	V _{SS} - 0.3 ~ V _{SS} + 45.0	V
VO _{UT} 端子电压	V _{OUT}	V _{SS} - 0.3 ~ V _{IN} + 0.3 ≤ V _{SS} + 7.0	V
DLY端子电压	V _{DLY}	V _{SS} - 0.3 ~ V _{OUT} + 0.3 ≤ V _{SS} + 7.0	V
WEN端子电压	V _{WEN}	V _{SS} - 0.3 ~ V _{SS} + 7.0	V
WI端子电压	V _{WI}	V _{SS} - 0.3 ~ V _{OUT} + 0.3 ≤ V _{SS} + 7.0	V
WO / RO端子电压	V _{WO / RO}	V _{SS} - 0.3 ~ V _{OUT} + 0.3 ≤ V _{SS} + 7.0	V
输出电流	I _{OUT}	650	mA
结点温度	T _j	-40 ~ +150	°C
工作环境温度	T _{opr}	-40 ~ +125	°C
保存温度	T _{stg}	-40 ~ +150	°C

注意 绝对最大额定值是指在任何条件下都不能超过的额定值。万一超过此额定值，有可能造成产品劣化等物理性的损伤。

■ 热敏电阻值

表8

项目	符号	条件	最小值	典型值	最大值	单位	
结至环境热阻*1, *2	θ _{JA}	TO-252-9S	Board A	-	84	-	°C/W
			Board B	-	-	-	°C/W
			Board C	-	-	-	°C/W
			Board D	-	-	-	°C/W
			Board E	-	24	-	°C/W
		HSOP-8A	Board A	-	105	-	°C/W
			Board B	-	-	-	°C/W
			Board C	-	-	-	°C/W
			Board D	-	-	-	°C/W
			Board E	-	31	-	°C/W

*1. 测定环境：遵循JEDEC STANDARD JESD51-2A标准

*2. 将本产品安装在各Board上测定的数值

备注 关于详情，请参阅 "■ Power Dissipation" 和 "Test Board"。

■ 推荐工作条件

表9

项目	符号	条件	最小值	典型值	最大值	单位
VIN端子电压	VIN	–	3.0	–	36.0	V
		自律看门狗工作功能*1	V _{OUT} + 1.0	–	36.0	V
EN端子电压	V _{EN}	–	0	–	V _{IN}	V
WEN端子电压	V _{WEN}	–	0	–	V _{OUT}	V
WI端子电压	V _{WI}	–	0	–	V _{OUT}	V
看门狗输入 "H" 时间*2	t _{high}	–	5.0	–	–	μs
看门狗输入 "L" 时间*2	t _{low}	–	5.0	–	–	μs
看门狗输入频率*2	f _{WI}	占空系数50%	–	–	0.2	MHz
输入电容	C _{IN}	–	1.0	–	–	μF
输出电容	C _L	–	1.0	–	–	μF
等效串联电阻	R _{ESR}	输出电容器 (C _L)	–	–	100	Ω
解除延迟时间、监视时间调整电容*3	C _{DLY}	–	1	10	–	nF
输出端子外接上拉电阻	R _{extR}	连接于WO / RO端子	3	–	–	kΩ

- *1. 有关自律看门狗工作功能，请参阅 "■ 工作说明" 的 "3. 看门狗定时器部分"。
- *2. 将满足图4的条件的上升边缘输入到WI端子时，看门狗定时器检测出触发。
从看门狗定时器的监视对象输入的信号应满足图4的条件。
- *3. 有关详情，请参阅 "■ 外接元器件的选定" 的 "2. 解除延迟时间、监视时间调整电容器 (C_{DLY})"。

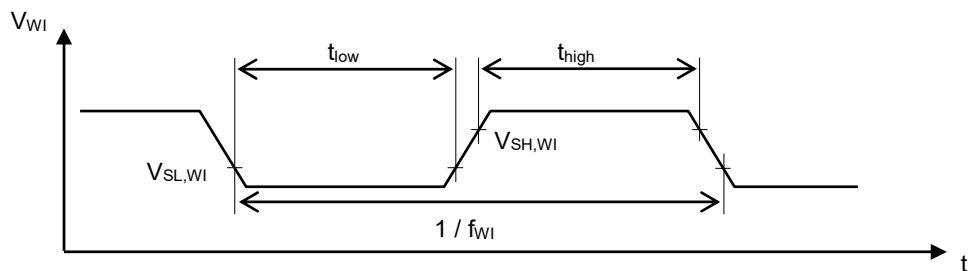


图4

注意 一般而言，线性稳压器有可能因所选择外接元器件的不同发生振荡。请确认使用了符合上述C_{IN}、C_L及R_{ESR}条件的电容器后，应用电路不发生振荡。

■ 电气特性

1. 稳压器部分

表10

(除特殊注明以外: $V_{IN} = 13.5\text{ V}$, $T_j = -40^\circ\text{C} \sim +150^\circ\text{C}$)

项目	符号	条件	最小值	典型值	最大值	单位	测定电路	
输出电压*1	$V_{OUT(E)}$	$V_{OUT(S)} + 1.0\text{ V} \leq V_{IN} \leq 18.0\text{ V}$, $1\text{ mA} \leq I_{OUT} \leq 100\text{ mA}$	$V_{OUT(S)}$ - 2.0%	$V_{OUT(S)}$	$V_{OUT(S)}$ + 2.0%	V	1	
输出电流*2	I_{OUT}	$V_{IN} \geq V_{OUT(S)} + 1.0\text{ V}$	500*7	-	-	mA	2	
输入输出电压差*3	V_{drop}	$I_{OUT} = 100\text{ mA}$	$V_{OUT(S)} = 3.3\text{ V}$	-	120	240	mV	1
			$V_{OUT(S)} = 5.0\text{ V}$	-	100	200	mV	1
		$I_{OUT} = 500\text{ mA}$	$V_{OUT(S)} = 3.3\text{ V}$	-	650	1200	mV	1
			$V_{OUT(S)} = 5.0\text{ V}$	-	510	1000	mV	1
输入安定度*4	$\frac{\Delta V_{OUT1}}{\Delta V_{IN} \cdot V_{OUT}}$	$V_{OUT(S)} + 1.0\text{ V} \leq V_{IN} \leq 36.0\text{ V}$, $I_{OUT} = 1\text{ mA}$	-	0.01	0.02	%/V	1	
负载安定度*5	ΔV_{OUT2}	$V_{IN} = V_{OUT(S)} + 1.0\text{ V}$, $1\text{ mA} \leq I_{OUT} \leq 250\text{ mA}$, $T_a = +25^\circ\text{C}$	-	10	50	mV	1	
输入电压	V_{IN}	-	3.0	-	36.0	V	-	
EN端子输入电压 "H"	$V_{SH,EN}$	-	2	-	-	V	4	
EN端子输入电压 "L"	$V_{SL,EN}$	-	-	-	0.8	V	4	
EN端子输入电流 "H"	$I_{SH,EN}$	$V_{EN} = V_{IN}$	-	-	1	μA	4	
EN端子输入电流 "L"	$I_{SL,EN}$	$V_{EN} = 0\text{ V}$	-	-	0.1	μA	4	
纹波抑制率	RR	$V_{IN} = 13.5\text{ V}$, $I_{OUT} = 30\text{ mA}$, $f = 100\text{ Hz}$, $\Delta V_{rip} = 1.0\text{ V}_{p-p}$	$V_{OUT(S)} = 3.3\text{ V}$	-	65	-	dB	3
			$V_{OUT(S)} = 5.0\text{ V}$	-	60	-	dB	3
限制电流*6	I_{LIM}	$V_{IN} = V_{OUT(S)} + 1.0\text{ V}$, $T_a = +25^\circ\text{C}$	490	700	960	mA	2	
短路电流	I_{short}	$V_{IN} = 13.5\text{ V}$, $V_{OUT} = 0\text{ V}$, $T_a = +25^\circ\text{C}$	75	160	245	mA	2	
热敏关闭检测温度	T_{SD}	结点温度	-	170	-	$^\circ\text{C}$	-	
热敏关闭解除温度	T_{SR}	结点温度	-	135	-	$^\circ\text{C}$	-	

*1. 当输入电压、输出电流、温度符合上述记载条件时，可以保证精度。

$V_{OUT(S)}$: 设定输出电压值

$V_{OUT(E)}$: 实际输出电压值

*2. 缓慢增加输出电流，当输出电压为 $V_{OUT(E)}$ 的95%时的输出电流值

*3. 缓慢降低输入电压 (V_{IN})，当输出电压降低到 V_{OUT3} 的98%时，输入电压 (V_{IN1}) 与输出电压的电压差。

$$V_{drop} = V_{IN1} - (V_{OUT3} \times 0.98)$$

V_{OUT3} : $V_{IN} = V_{OUT(S)} + 1.0\text{ V}$ 时的输出电压值

*4. 输出电压对输入电压的依赖性。表示当输出电流一定时，输出电压随输入电压的变化而产生的变化量。

*5. 输出电压对输出电流的依赖性。表示当输入电压一定时，输出电压随输出电流的变化而产生的变化量。

*6. 过电流保护电路所限制的电流值

*7. 由于容许功耗的不同，也有不能满足此值的情况。请注意在输出大电流时的容许功耗。

此规格为设计保证。

2. 检测器部分

表11

(除特殊注明以外： $T_j = -40^{\circ}\text{C} \sim +150^{\circ}\text{C}$)

项目	符号	条件	最小值	典型值	最大值	单位	测定电路
检测电压*1	$-V_{\text{DET}}$	-	$-V_{\text{DET(S)}} - 2.0\%$	$-V_{\text{DET(S)}}$	$-V_{\text{DET(S)}} + 2.0\%$	V	5
滞后幅度*2	V_{HYS}	-	120	150	180	mV	5
复位输出电压 "H"	V_{ROH}	-	$V_{\text{OUT(S)}} \times 0.9$	-	-	V	5
复位输出电压 "L"	V_{ROL}	$V_{\text{OUT}} \geq 1.0 \text{ V}$, $R_{\text{extR}} \geq 3 \text{ k}\Omega$, 连接到VOUT端子	-	0.2	0.4	V	5
复位上拉电阻	R_{RO}	VOUT端子内部电阻, $V_{\text{OUT}} \geq +V_{\text{DET}}$	20	30	45	k Ω	-
复位输出电流	I_{RO}	$V_{\text{RO}} = 0.4 \text{ V}$, $V_{\text{OUT}} = -V_{\text{DET(S)}} \times 0.95$	3.0	-	-	mA	6
解除延迟时间*3	t_{rd}	$C_{\text{DLY}} = 10 \text{ nF}$	16	20	24	ms	5
复位反应时间*4	t_{rr}	-	-	-	200	μs	5

*1. RO端子的输出是从 "H" 切换到 "L" 的VOUT端子电压

$-V_{\text{DET(S)}}$: 设定检测电压值

$-V_{\text{DET}}$: 实际检测电压值

*2. 检测电压 ($-V_{\text{DET}}$) 与解除电压 ($+V_{\text{DET}}$) 之间的电压差。稳压器部分的实际输出电压值 ($V_{\text{OUT(E)}}$) 和检测器部分的实际解除电压值 ($+V_{\text{DET}} = -V_{\text{DET}} + V_{\text{HYS}}$) 的关系如下所示。

$$V_{\text{OUT(E)}} > +V_{\text{DET}}$$

*3. 从VOUT超过解除电压值开始，到实际RO端子的输出开始反转为止的时间 (参阅图5)。此值可以通过解除延迟时间、监视时间调整电容器 (C_{DLY}) 电容值进行更改。

表示从VOUT变化为 $+V_{\text{DET}} \rightarrow V_{\text{DET(S)}}$ 之后，到VRO达到 $V_{\text{OUT}} / 2$ 为止的时间。

*4. 从VOUT低于检测电压值开始，到实际RO端子的输出开始反转为止的时间 (参阅图6)。

表示从VOUT变化为 $V_{\text{OUT(S)}} \rightarrow -V_{\text{DET}}$ 之后，到VRO达到 $V_{\text{OUT}} / 2$ 为止的时间。

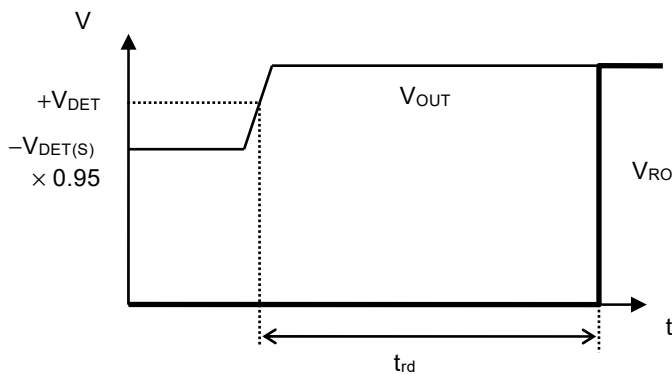


图5 解除延迟时间

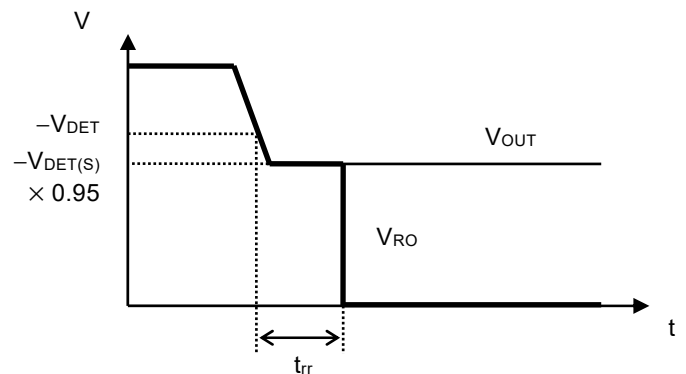


图6 复位反应时间

3. 看门狗定时器部分

表12

(除特殊注明以外： $V_{IN} = 13.5\text{ V}$, $T_j = -40^\circ\text{C} \sim +150^\circ\text{C}$)

项目	符号	条件	最小值	典型值	最大值	单位	测定电路
看门狗工作阈值电流	$I_{O,WDact}$	—	—	1.5	1.9	mA	9
看门狗停止阈值电流	$I_{O,WDdeact}$	—	0.85	1.25	—	mA	9
WI端子输入电压 "H"	$V_{SH,WI}$	—	$V_{OUT(S)} \times 0.7$	—	—	V	7
WI端子输入电压 "L"	$V_{SL,WI}$	—	—	—	$V_{OUT(S)} \times 0.3$	V	7
WI端子输入电流 "H"	$I_{SH,WI}$	$V_{WI} = V_{OUT(S)}$	—	—	1	μA	7
WI端子输入电流 "L"	$I_{SL,WI}$	$V_{WI} = 0\text{ V}$	—	—	0.1	μA	7
WEN端子输入电压 "H"	$V_{SH,WEN}$	—	2	—	—	V	8
WEN端子输入电压 "L"	$V_{SL,WEN}$	—	—	—	0.8	V	8
WEN端子输入电流 "H"	$I_{SH,WEN}$	$V_{WEN} = V_{OUT(S)}$	—	—	1	μA	8
WEN端子输入电流 "L"	$I_{SL,WEN}$	$V_{WEN} = 0\text{ V}$	—	—	0.1	μA	8
看门狗输出 "L" 时间*1	$t_{WD,L}$	$C_{DLY} = 10\text{ nF}$	9.2	11.5	13.8	ms	9
看门狗触发时间*2	$t_{WI,tr}$	$C_{DLY} = 10\text{ nF}$	39.1	46	52.9	ms	9

- *1. 看门狗定时器进行超时检测后，WO / RO端子保持 "L" 的时间 (参阅图7)。此值可以通过 C_{DLY} 的电容值进行更改。
*2. 从看门狗定时器开始进行触发信号检测后，到检测出超时，并且WO / RO端子输出变化为 "L" 为止的时间 (参阅图7)。此值可以通过 C_{DLY} 的电容值进行更改。

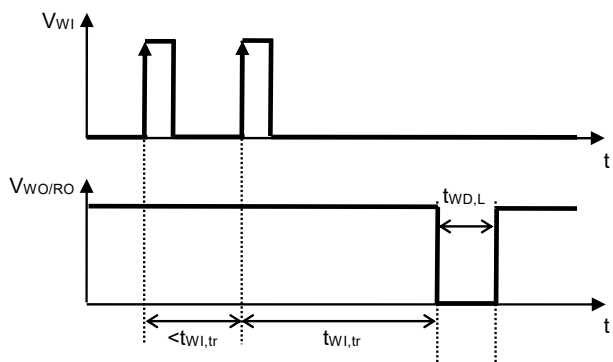


图7 看门狗触发时间

4. 整体

表13

(除特殊注明以外 : $V_{IN} = 13.5\text{ V}$, $T_j = -40^\circ\text{C} \sim +150^\circ\text{C}$)

项目	符号	条件	最小值	典型值	最大值	单位	测定电路
工作时消耗电流	I _{SS1}	V _{EN} = V _{IN} , I _{OUT} ≤ 10 μA, 看门狗定时器停止时	-	3.2	9.8	μA	9
		V _{EN} = V _{IN} , I _{OUT} ≤ 2.5 mA, 看门狗定时器工作时, WO / RO端子 = "H"	-	8.4	18	μA	9
休眠时消耗电流	I _{SS2}	V _{EN} = 0 V, I _{OUT} = 0 mA	-	0.1	4.0	μA	10

■ 测定电路

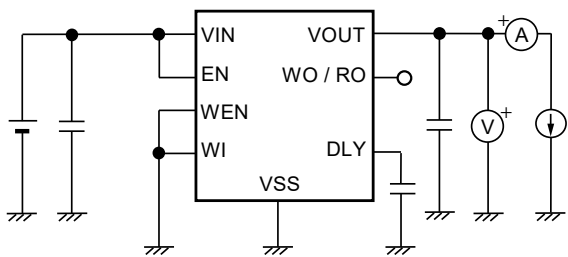


图8 测定电路1

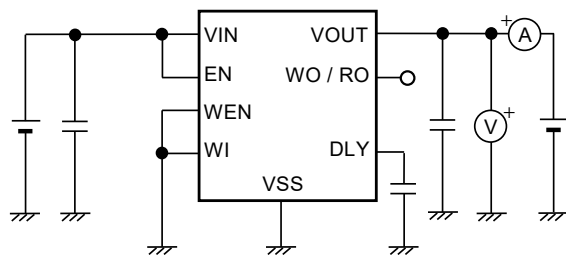


图9 测定电路2

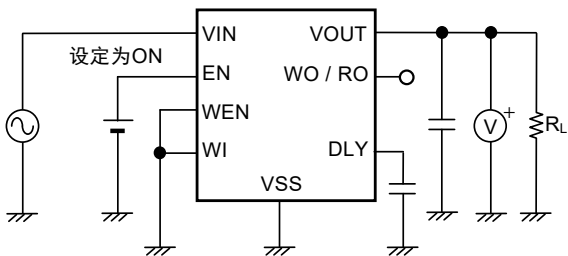


图10 测定电路3

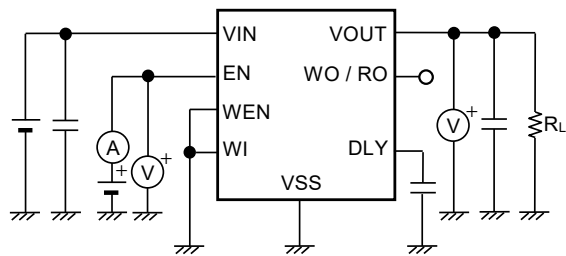


图11 测定电路4

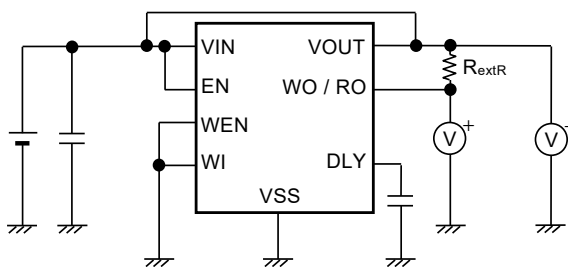


图12 测定电路5

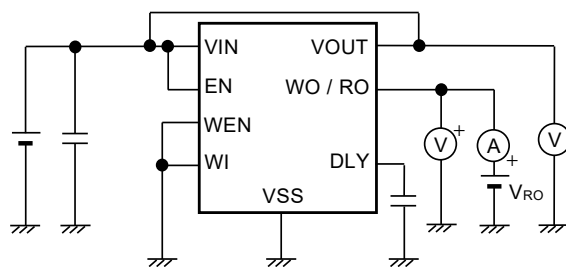


图13 测定电路6

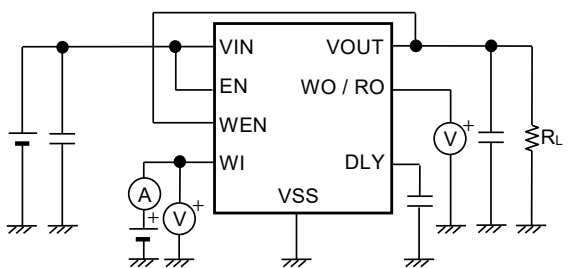


图14 测定电路7

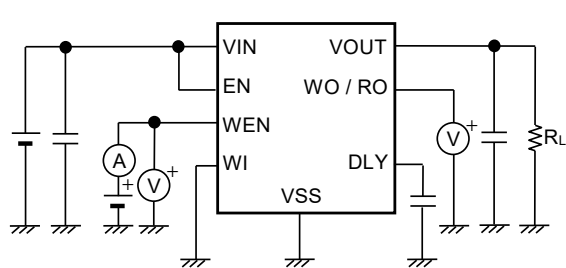


图15 测定电路8

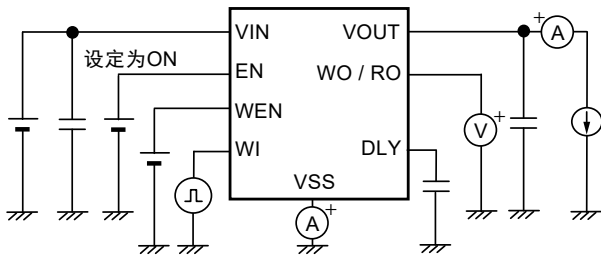


图16 测定电路9

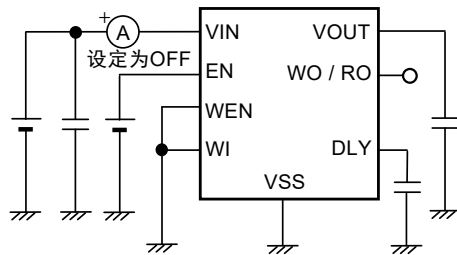


图17 测定电路10

■ 标准电路

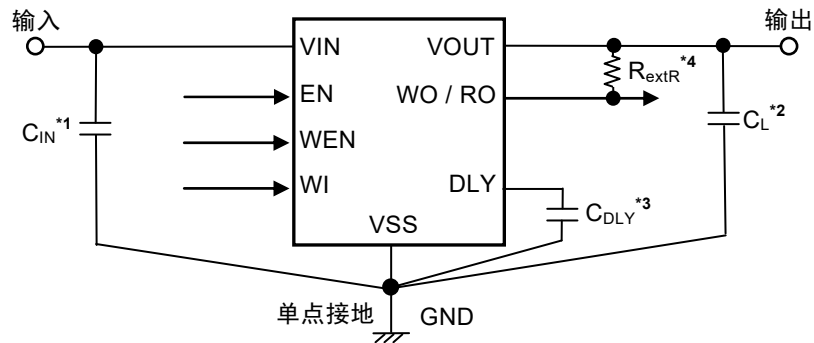


图18

- *1. C_{IN} 为用于稳定输入的电容器。
- *2. C_L 为用于稳定输出的电容器。
- *3. C_{DLY} 为调整解除延迟时间、监视时间调整电容器。
- *4. 由于S-19509系列内置了上拉电阻，因此不需要连接外部上拉电阻。

注意 上述连接图以及参数并不作为保证电路工作的依据。实际的应用电路请在进行充分的实测基础上设定参数。

■ 外接元器件的选定

1. 输入、输出电容器 (C_{IN}, C_L)

为了进行相位补偿, S-19509系列需要在VOUT端子 – VSS端子之间设置C_L。在整体温度范围内, 使用电容大于或等于1.0 μF的陶瓷电容器即可稳定工作。另外, 在使用OS电容器、钽电容器或铝电解电容器时, 电容也必须大于或等于1.0 μF, ESR的电容必须小于或等于100 Ω。

因输出电容器的值的不同, 过渡响应特性的输出过冲值与下冲值将发生变化。

另外, 输入电容器的电容也因应用电路而异。

注意 关于C_{IN}, C_L的电容值, 请在实际使用的条件下, 对温度特性等进行充分测试后再进行设置。

2. 解除延迟时间、监视时间调整电容器 (C_{DLY})

S-19509系列为了调整检测器的解除延迟时间 (t_{rd}) 和看门狗定时器的监视时间, 需要在DLY端子 – VSS端子之间连接解除延迟时间、监视时间调整电容器 (C_{DLY})。

设定解除延迟时间 (t_{rd(s)})、设定看门狗触发时间 (t_{wl,tr(s)}) 及设定看门狗输出 "L" 时间 (t_{wd,L(s)}) 可分别按如下公式计算出来。

"■ 电气特性" 说明了C_{DLY} = 10 nF的条件时的解除延迟时间 (t_{rd})、看门狗触发时间 (t_{wl,tr}) 及看门狗输出 "L" 时间 (t_{wd,L})。

$$t_{rd(s)} [\text{ms}] = t_{rd} [\text{ms}] \times \frac{C_{DLY} [\text{nF}]}{10 [\text{nF}]}$$

$$t_{wl,tr(s)} [\text{ms}] = t_{wl,tr} [\text{ms}] \times \frac{C_{DLY} [\text{nF}]}{10 [\text{nF}]}$$

$$t_{wd,L(s)} [\text{ms}] = t_{wd,L} [\text{ms}] \times \frac{C_{DLY} [\text{nF}]}{10 [\text{nF}]}$$

- 注意1.** 上述计算公式并不作为保证电路工作的依据。实际的应用电路请在对包括温度特性在内的特性进行充分的评价基础上设定参数。
2. 因为DLY端子的阻抗很高, 在实际的基板布局时请注意不要从外部向此端子流入电流, 或者流出电流 (有可能无法得到正确的延迟时间和监视时间)。
 3. 请选择相对内置恒流电流 (0.6 μA (典型值)) 可以忽视电容器本身的泄漏电流的C_{DLY}。若有泄漏电流, 延迟时间就会与监视时间产生误差。另外, 若有大于或等于内置恒流电流的泄漏电流就不能解除复位输出。
 4. 以上的算式并不包含C_{DLY}的偏差。请考虑所使用的C_{DLY}的偏差后再设定参数。

■ 工作说明

1. 稳压器部分

1.1 基本工作

图19所示为S-19509系列稳压器的框图。

输出电压经反馈电阻 (R_s 和 R_f) 分压, 产生反馈电压 (V_{fb}), 并和基准电压 (V_{ref}) 经误差放大器作比较。通过此误差放大器向输出晶体管提供必要的门极电压, 从而使输出电压不受输入电压或温度变化的影响, 能够保持一定。

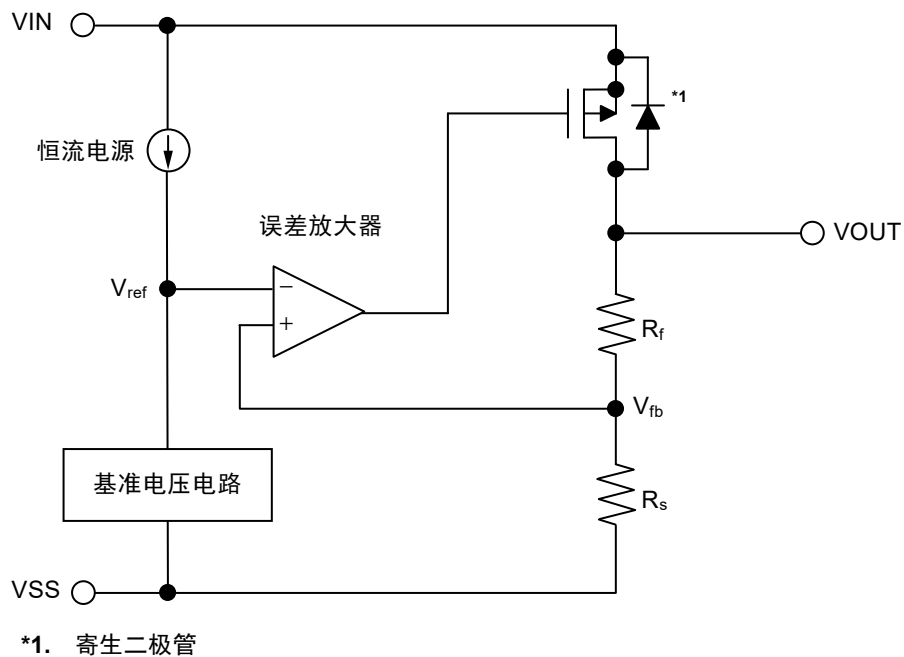


图19

1.2 输出晶体管

S-19509系列的输出晶体管采用了低通态电阻的P沟道MOS FET晶体管。

在晶体管的构造上, 因在VIN端子 - VOUT端子间存在有寄生二极管, 当VOUT的电位高于VIN时, 有可能因反向电流而导致IC被毁坏。因此, 请注意VOUT不要超过VIN + 0.3 V。

1.3 过载电流保护电路

S-19509系列为了保护输出晶体管免受过大的输出电流及VOUT端子 – VSS端子之间的短路的影响，内置了如“■ 各种特性数据 (典型数据)”的“1. 稳压器部分”的“1.1 输出电压 – 输出电流 (负载电流增加时) (Ta = +25°C)”所示特性的过电流保护电路。由于输出短路时的电流 (I_{short}) 在内部设定为160 mA (典型值)，因此可根据此值限制短路时的负载电流。输出晶体管若从过电流状态中解除，则输出电压重新开始进行稳压工作。

注意 过载电流保护电路并非兼备过热保护电路。因此，若长时间持续短路状态，请充分注意输入电压、负载电流的条件，使包括短路条件在内的使用条件下的IC功耗不超过容许功耗。

1.4 热敏关闭电路

S-19509系列为了限制自身发热，内置了热敏关闭电路。当结点温度上升到170°C (典型值) 时，热敏关闭电路开始工作，并停止稳压工作。之后，当结点温度下降到135°C (典型值) 时，热敏关闭电路被解除，并重新开始进行稳压工作。

由于产品的自身发热而导致热敏关闭电路开始工作时，稳压工作将会停止，输出电压也随之下降。由此，自身发热受到限制，IC的温度也随之降低。由于温度的降低，热敏关闭电路会停止工作，因此稳压工作重新开始，输出电压上升，使得自身发热的现象再一次发生。如此反复的工作会使VOUT端子输出的波形变为脉冲状。要阻止这种现象，只有通过降低输入电压、输出电流的任意一方或双方，促使内部消耗电力变小来实现，或者通过降低周围环境温度来实现。如果这种现象连续发生，则有可能造成产品的劣化等物理性损伤。

表14

热敏关闭电路	VOUT端子电压
解除 : 170°C (典型值)*1	V _{SS} 电位
检测 : 135°C (典型值)*1	设定值

*1. 结点温度

1.5 ON / OFF控制电路

ON / OFF控制电路通过控制内部电路和输出晶体管来进行稳压器的启动和停止工作。将EN端子设定为 "L" (OFF电位) 后, 会停止内部电路的工作, 关闭VIN端子 - VOUT端子之间的输出晶体管, 从而大幅度控制消耗电流。

有关EN端子的内部等效电路的构造如图20所示。EN端子因通过恒流电源在内部被下拉, 在浮动状态下使用时会变为 "L", 输出晶体管也会关闭。但是, 在浮动状态下使用EN端子时, EN端子的阻抗会变高。为了确保EN端子被设定为OFF电位, 请将EN端子连接于GND, 以保证EN端子的输入为 "L"。

在不使用EN端子时, 请将EN端子连接于VIN端子。如果对EN端子施加中间电压, 会增加消耗电流, 务请注意。

表15

EN端子	内部电路	VOUT端子电压	消耗电流
"H" : ON	工作	一定值 ^{*1}	I _{SS1}
"L" : OFF	停止	下拉到V _{SS} ^{*2}	I _{SS2}

*1. 根据设定输出电压值进行稳压工作时输出的一定值。

*2. VOUT端子电压根据放电分路电路与反馈电阻的并联电阻 ($R_{Low} = 1.2 \text{ k}\Omega$ (典型值)) 以及负载的条件而被下拉到V_{SS}。

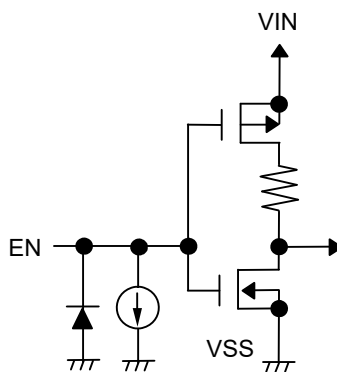


图20

2. 检测器部分

2.1 基本工作

- (1) 当稳压器的输出电压 (V_{OUT}) 大于或等于检测器的解除电压 ($+V_{DET}$) 时, N沟道晶体管 (N1, N2) 变为关, 向RO端子输出 "H"。此时, P沟道晶体管 (P1) 为开状态, 向比较器 (C1) 的输入电压为 $\frac{R_B \cdot V_{OUT}}{R_A + R_B}$ 。
- (2) 即使 V_{OUT} 降低到小于或等于 $+V_{DET}$ 时, 只要高于或等于检测电压 ($-V_{DET}$), 就能向RO端子输出 "H"。若 V_{OUT} 降低到小于或等于 $-V_{DET}$ (图22的A点) 时, 通过C1控制的N1变为开, C_{DLY} 被放电。同时, 由延迟电路控制的N2变为开, 向RO端子输出 "L"。此时, P1变为关, 向C1的输入电压为 $\frac{R_B \cdot V_{OUT}}{R_A + R_B + R_C}$ 。
- (3) 若 V_{OUT} 进一步下降到小于或等于最低工作电压时, RO端子的输出变得不稳定。若RO端子上被上拉时, 输出 "H"。
- (4) 若 V_{OUT} 上升到大于或等于最低工作电压时, 向RO端子输出 "L"。此外, 在 V_{OUT} 大于 $-V_{DET}$ 且小于 $+V_{DET}$ 的情况下, 输出为 "L"。
- (5) 再继续使 V_{OUT} 上升, 若上升到大于或等于 $+V_{DET}$ (图22的B点) 时, N1变为关, C_{DLY} 被充电。如 V_{DLY} 为阈值电压 (1.25 V (典型值)), 则由延迟电路控制的N2变为关, 向RO端子输出 "H"。

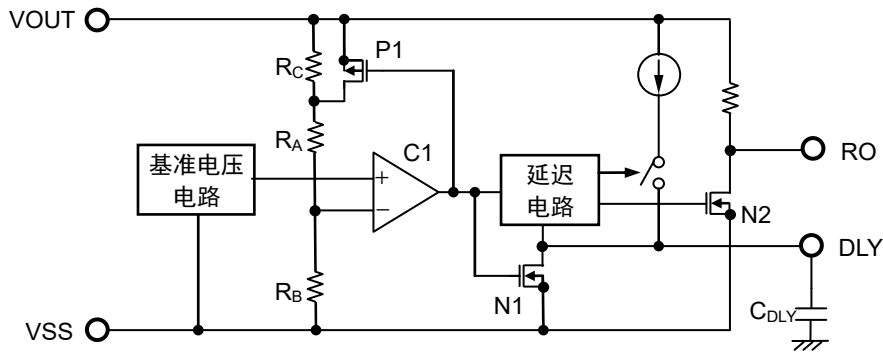


图21 检测器部分的工作说明图

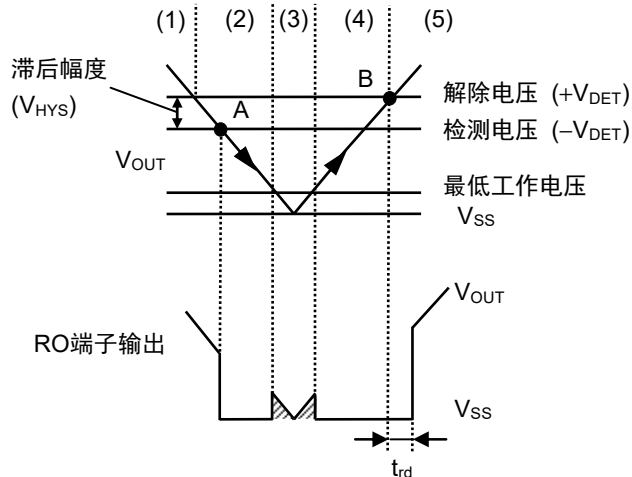


图22 检测器部分的时序图

2.2 延迟电路

在向RO端子输出 "L" 的状态下，稳压器的输出电压 (V_{OUT}) 上升后，比 V_{OUT} 上升到 $+V_{DET}$ 时更迟缓，复位解除信号输出到RO端子。解除延迟时间 (t_{rd}) 可通过 C_{DLY} 的电容值进行调整。有关详情，请参阅 "■ 外接元器件的选定" 的 "2. 解除延迟时间、监视时间调整电容器 (C_{DLY})"。

此外，从 V_{OUT} 降低到小于或等于 $-V_{DET}$ 开始，到上升到大于或等于 $+V_{DET}$ 为止的时间与复位反应时间 (t_{rr}) 的长度相比非常短时，有可能保持向RO端子输出 "H" 的状态。

注意 由于 t_{rd} 依赖于 C_{DLY} 的充电时间，因此如果在 C_{DLY} 有残留电荷的状态下开始充电工作，则 t_{rd} 有可能比设定值短。

2.3 输出电路

RO端子由于内置了上拉至 V_{OUT} 端子的电阻，因此可在无外接上拉电阻的状态下输出信号。

如果连接外接电阻时，请不要与 V_{OUT} 端子以外的端子连接。

S-19509系列的复位输出端子和看门狗输出端子是WO / RO端子。WO / RO端子的输出电位是复位输出端子和看门狗输出端子的AND逻辑。

例：WO端子为 "L"、RO端子为 "H" 时、WO / RO端子为 "L"

注意 请在实际使用的条件下，对温度特性等进行充分测试后再设置外接上拉电阻的值。

3. 看门狗定时器部分

3.1 基本工作

在监视工作中，看门狗定时器进行如下的工作。

- (1) 看门狗定时器在进行监视工作期间， C_{DLY} 通过内部恒流电源进行充放电工作。
从看门狗定时器的监视对象向WI端子输入上升边缘，看门狗定时器会检测到触发， C_{DLY} 通过内部恒流电源进行充电工作， V_{DLY} 开始上升。
当 V_{DLY} 上升到上位阈值电压 (V_{DU}) 时， C_{DLY} 则开始放电工作。在 C_{DLY} 的充放电工作期间，看门狗定时器再次检测到触发时，会反复进行同样的工作。在此期间，WO端子的输出为 "H"。
- (2) 如果看门狗定时器一直没有检测到触发， C_{DLY} 进行了4次充放电工作后，WO端子的输出变为 "L"。此工作称为超时检测。在WO端子的输出为 "H" 期间，如果看门狗定时器停止工作，充放电次数将被复位。
- (3) 超时检测后，在WO端子的输出为 "L" 期间， C_{DLY} 进行充放电工作。进行了1次充放电工作后，WO端子的输出为 "H"，此后， C_{DLY} 的充放电工作将会继续。在WO端子的输出为 "L" 期间，即使看门狗定时器停止工作，在1次 C_{DLY} 的充放电工作期间，WO端子会持续输出 "L"。
- (4) WO端子从 "L" 返回到 "H" 的状态之后，看门狗定时器根据输入情况继续 (1)、(2) 中的任意一项工作。

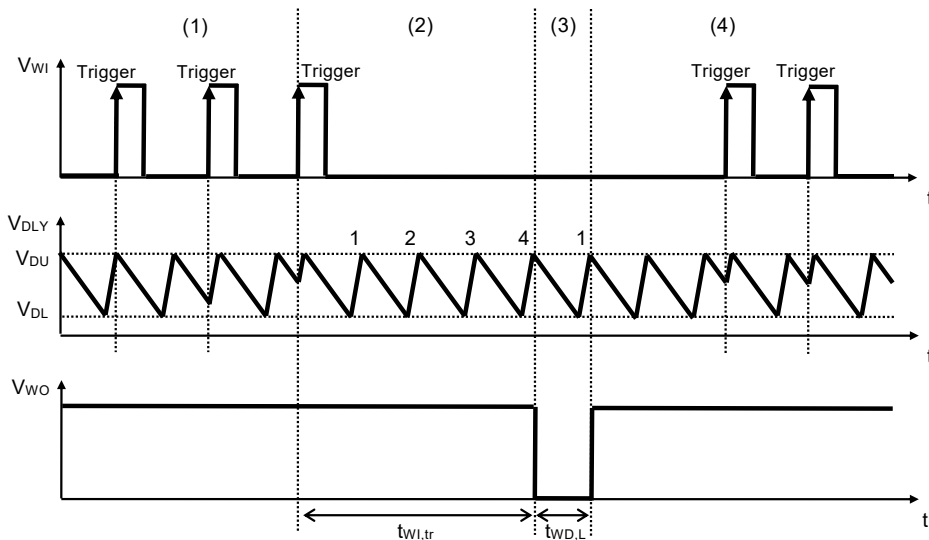


图23 看门狗定时器部分的时序图

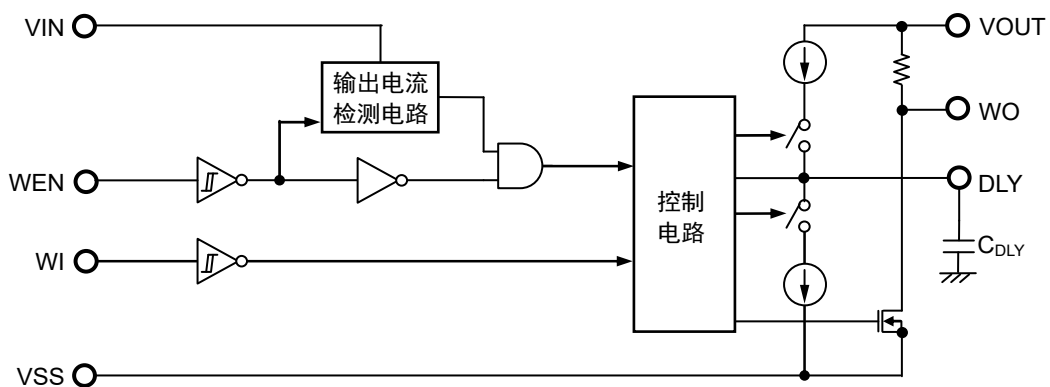


图24 看门狗定时器部分的工作说明图

3.2 自律看门狗工作功能 (输出电流检测电路)

由于S-19509系列内置了输出电流检测电路，因此看门狗定时器可自律地工作。通过稳压器的输出电流检测出流入负载的电流，当输出电流大于或等于看门狗工作阈值电流 ($I_{O,Wdact}$) 时，看门狗定时器开始工作，当输出电流小于或等于看门狗停止阈值电流 ($I_{O,Wddeact}$) 时，看门狗定时器停止工作。

图25是包含输出电流检测电路的框图。当微机连接于稳压器时，可通过稳压器的输出电流检测微机的工作电流。例如，当微机休眠时的工作电流低于看门狗停止阈值电流 ($I_{O,Wddeact}$) 时，看门狗定时器会自律停止监视工作。VIN端子电压低于输出电流检测电路的最低工作电压时，输出电流检测电路停止工作。关于VIN端子电压的电压范围，请参阅“■ 推荐工作条件”。

另外，S-19509系列如果使用WEN端子使看门狗定时器无效，与输出电流无关，看门狗定时器都会停止。

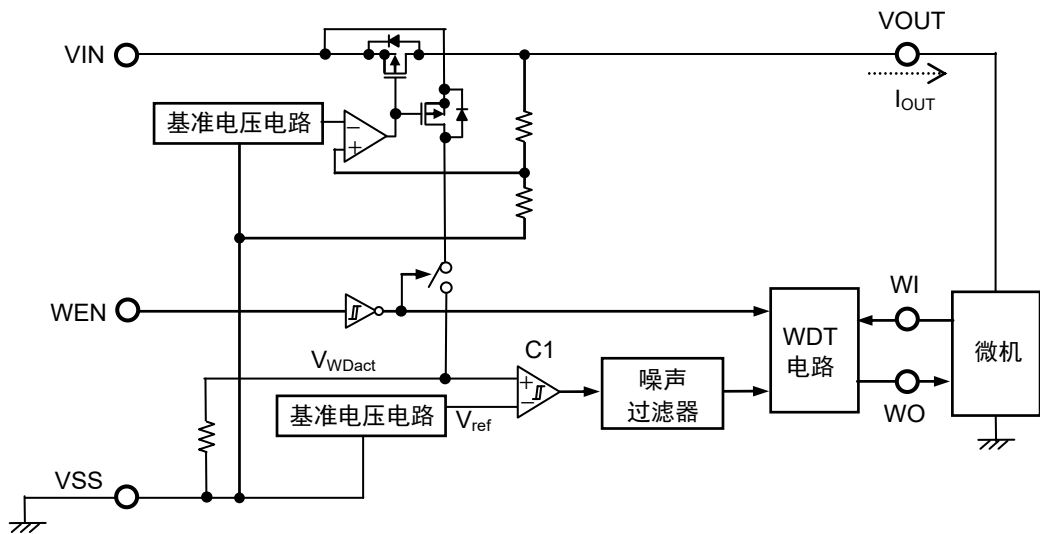


图25 输出电流检测电路工作说明图

注意 S-19509系列未内置微机。另外，上述连接图并不作为保证电路工作的依据。实际的应用电路请在进行充分的实测基础上决定连接。

由于S-19509系列备有自律看门狗工作功能，因此，看门狗定时器的监视工作如下所示。

- (1) 稳压器的 I_{OUT} 大于或等于看门狗工作阈值电流 ($I_{O,WDact}$)，并且比较器 (C1) 的输入电压 (V_{WDact}) 高于基准电压 (V_{ref}) 时，C1的输出变为 "H"。此时，看门狗定时器开始进行工作。
- (2) 当 I_{OUT} 降低到小于或等于看门狗停止阈值电流 ($I_{O,WDdeact}$) (图26的A点) 时， V_{WDact} 也降低到小于或等于 V_{ref} ，C1的输出变为 "L"。此时，看门狗定时器停止监视工作。即使 I_{OUT} 上升，在未达到 $I_{O,WDact}$ 时，看门狗定时器保持停止监视工作的状态。
- (3) I_{OUT} 再继续上升，达到大于或等于 $I_{O,WDact}$ (图26的B点) 时， V_{WDact} 也上升到大于或等于 V_{ref} ，C1的输出变为 "H"，看门狗定时器开始监视工作。

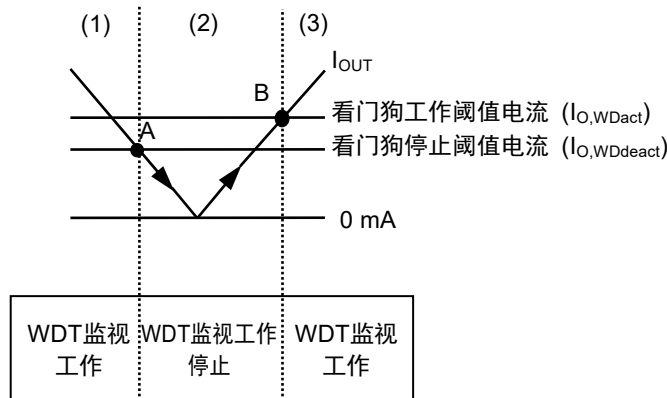


图26 自律看门狗工作功能

注意 如果稳压器的输出电流发生过度的变化，会导致看门狗定时器监视工作的不稳定，有可能会切换监视工作的 "开始" 和 "停止"。此时的工作状况，请在实际的应用电路上进行充分的实测评价。

3.3 看门狗启用电路

如果向WEN端子输入 "L"，则看门狗定时器变为 "禁用"，停止输出电流检测工作和监视工作。如果向WEN端子输入 "H"，则看门狗定时器变为 "启用"。

WEN端子通过恒流电源在内部被下拉。因此，如果在浮动状态下使用WEN端子，则WEN端子变为 "L"，看门狗定时器变为 "禁用"。但是，由于在浮动状态下使用WEN端子时WEN端子的阻抗会变高，因此为了确实 "禁用" 看门狗定时器，请将WEN端子连接到GND，并确保向WEN端子输入 "L"。

想固定看门狗定时器的 "启用" 时，请将WEN端子连接到VOUT端子，并确保向WEN端子输入 "H"。

各端子的状态与看门狗定时器监视工作的关系如表16所示。

表16

WEN端子	输出电流*1	VOUT端子电压	WDT监视工作
"H"	"H"	$\geq +V_{DET}$	ON
"H"	"L"	$\geq +V_{DET}$	OFF
"L"	Don't care	$\geq +V_{DET}$	OFF
Don't care	Don't care	$\leq -V_{DET}$	OFF

*1. "H" : $I_{OUT} > I_{O,WDact}$, "L" : $I_{OUT} < I_{O,WDdeact}$

3.4 看门狗输入电路

通过向WI端子输入上升边缘，看门狗定时器可检测出触发。有关从看门狗定时器监视对象输入到WI端子的信号的输入条件，请参阅 "■ 推荐工作条件"。

WI端子在内部通过恒流电源被下拉。因此，在浮动状态下使用WI端子时，WI端子为 "L"。

若对WI端子输入 "L"、"H" 以外的电压，消耗电流会有增加，务请注意。

看门狗定时器在进行监视工作中，仅在WO端子的输出为 "H"， C_{DLY} 进行充放电工作时才会检测出触发。

注意 在噪声较多的环境下，看门狗输入电路有可能误将噪声检测为触发信号。
请在实际的应用电路上，确认仅在所期待的信号下检测出触发。

3.5 看门狗输出电路

WO端子由于内置了上拉至VOUT端子的电阻，因此可在无外接上拉电阻的状态下输出信号。

如果连接外接电阻时，请不要与VOUT端子以外的端子连接。

S-19509系列的复位输出端子和看门狗输出端子是WO / RO端子。WO / RO端子的输出电位是复位输出端子和看门狗输出端子的AND逻辑。

例：WO端子为 "L"、RO端子为 "H" 时、WO / RO端子为 "L"

注意 请在实际使用的条件下，对温度特性等进行充分测试后再设置外接上拉电阻的值。

■ 时序图

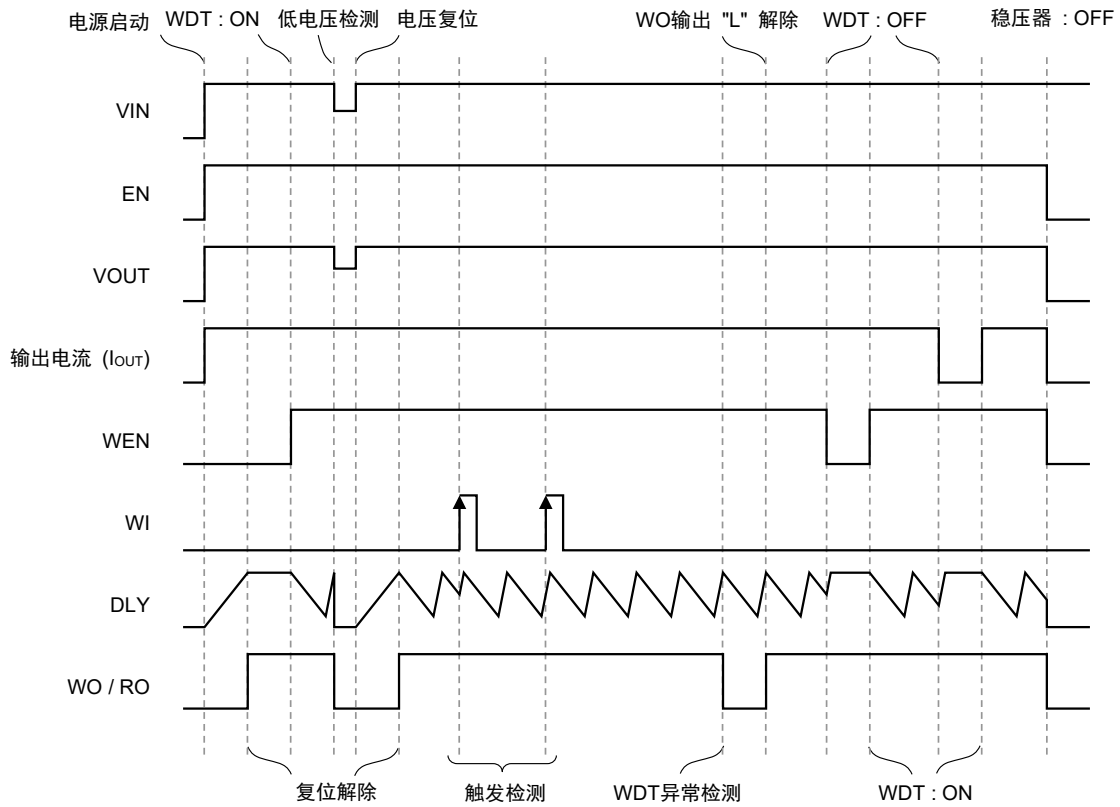


图27

■ 注意事项

- 请充分注意VIN端子、VOUT端子以及GND的布线方式，以降低阻抗。另外，请尽可能将输出电容器 (CL) 连接在VOUT端子 - VSS端子附近，将输入电容器 (CIN) 连接在VIN端子 - VSS端子附近。
- 一般而言，线性稳压器在低负载电流 (小于或等于0.1 mA) 状态下使用时，有可能导致输出电压上升，请加以注意。
- 一般而言，线性稳压器在高温状态下使用时，输出晶体管的泄漏电流有可能导致输出电压上升，请加以注意。
- 一般而言，线性稳压器有可能因所选择外接元器件的不同发生振荡。S-19509系列特推荐以下条件，但在实际的使用条件下，请对包括温度特性等进行充分的实测验证后再决定。另外，关于输出驱动器的等效串联电阻 (RESR)，请参阅 "■ 参考数据" 的 "6. 等效串联电阻 - 输出电流特性例 (Ta = -40°C ~ +125°C)"。

输入电容器 (CIN) : 大于或等于1.0 μF

输出电容器 (CL) : 大于或等于1.0 μF

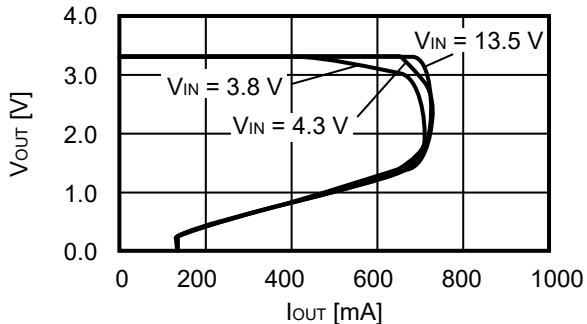
- 一般而言，线性稳压器因电源启动、电源变动和负载变动等变动因素及输出电容器的大小，其输出电压的过冲值和下冲值将会发生变化。请在实际使用条件下，对输出电压的过冲、下冲的温度特性等进行充分的实测验证后再决定输出电容器的条件。
- 在电源的阻抗较高的情况下，IC的输入端所接电容容量偏小或未接电容时，可能会发生振荡，请加以注意。
- 若在接通电源时或电源变动时，急剧提升电压，有可能导致在瞬间使输出电压产生过冲。请在实际使用条件下，对接通电源时的输出电压进行充分的实测。
- 如果VOUT端子突然与GND短路，由于应用布线上的电感和输出容量的共振，VOUT端子有可能发生超过绝对最大额定值的负电压。通过在VOUT端子 - VSS端子之间插入保护二极管或在输出容量中插入串联电阻，可以限制负电压。
- 请注意输入输出电压、负载电流的使用条件，使IC内的功耗不超过容许功耗。
- 本IC虽内置了防静电保护电路，但请不要对IC施加超过保护电路性能的过大静电。
- 有关所需输出电流的设定，请留意 "■ 电气特性" 的表10中输出电流值及栏外的注意事项*7。
- 使用本公司的IC生产产品时，如因其产品中对该IC的使用方法或产品的规格，或因进口国等原因，使包括本IC产品在内的制品发生专利纠纷时，本公司概不承担相应责任。

■ 各种特性数据 (典型数据)

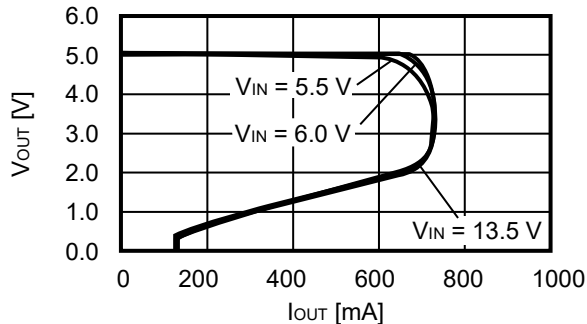
1. 稳压器部分

1.1 输出电压 – 输出电流 (负载电流增加时) ($T_a = +25^\circ\text{C}$)

1.1.1 $V_{OUT} = 3.3\text{ V}$

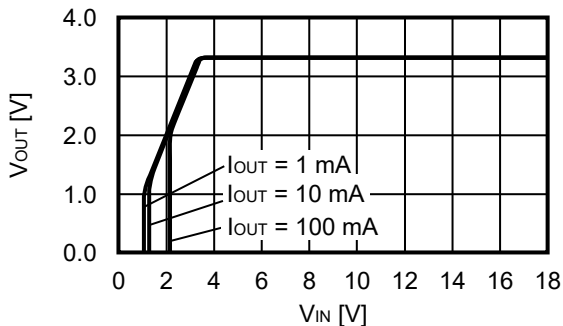


1.1.2 $V_{OUT} = 5.0\text{ V}$

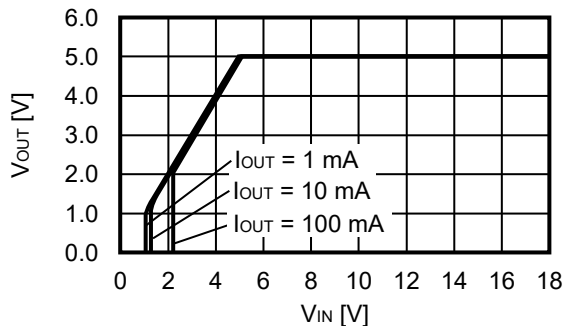


1.2 输出电压 – 输入电压 ($T_a = +25^\circ\text{C}$)

1.2.1 $V_{OUT} = 3.3\text{ V}$

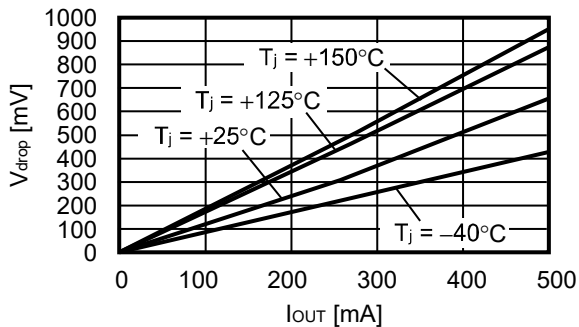


1.2.2 $V_{OUT} = 5.0\text{ V}$

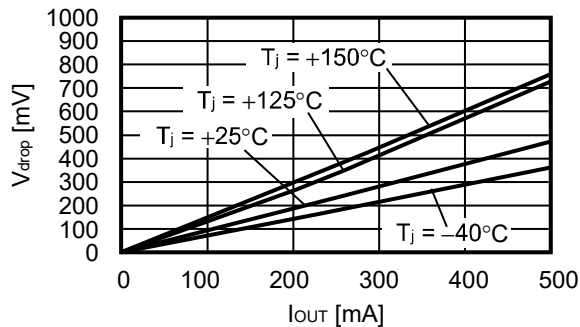


1.3 输入输出电压差 – 输出电流

1.3.1 $V_{OUT} = 3.3\text{ V}$

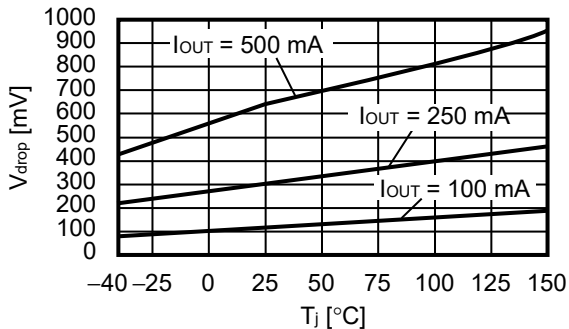


1.3.2 $V_{OUT} = 5.0\text{ V}$

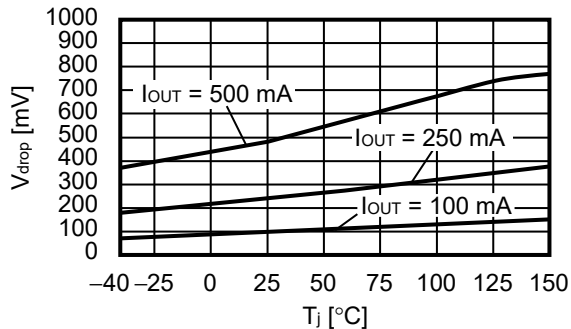


1.4 输入输出电压差 – 结点温度

1.4.1 $V_{OUT} = 3.3\text{ V}$

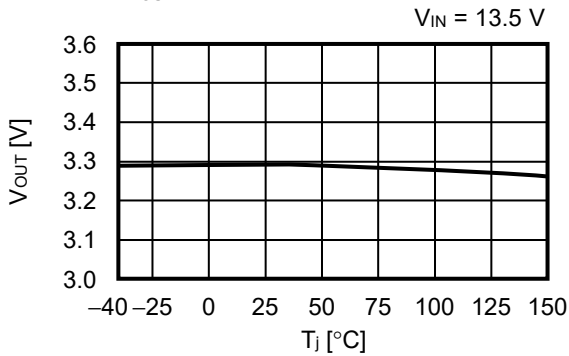


1.4.2 $V_{OUT} = 5.0\text{ V}$

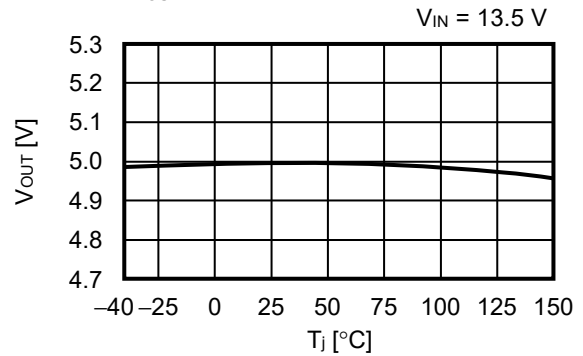


1.5 输出电压 – 结点温度

1.5.1 $V_{OUT} = 3.3\text{ V}$

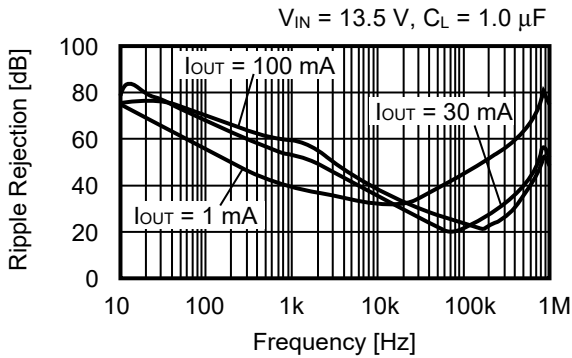


1.5.2 $V_{OUT} = 5.0\text{ V}$

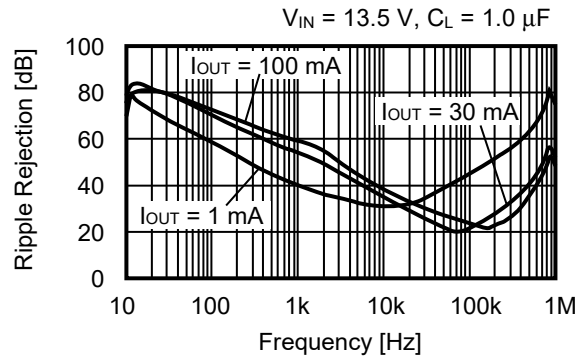


1.6 纹波抑制率 ($T_a = +25^\circ\text{C}$)

1.6.1 $V_{OUT} = 3.3\text{ V}$



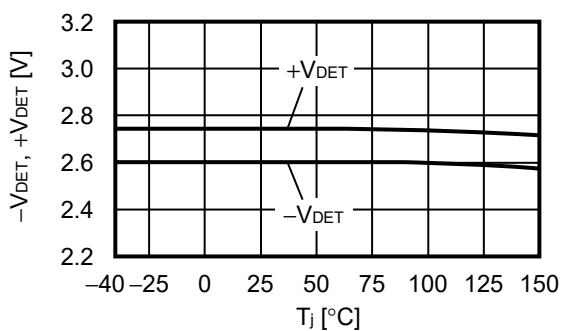
1.6.2 $V_{OUT} = 5.0\text{ V}$



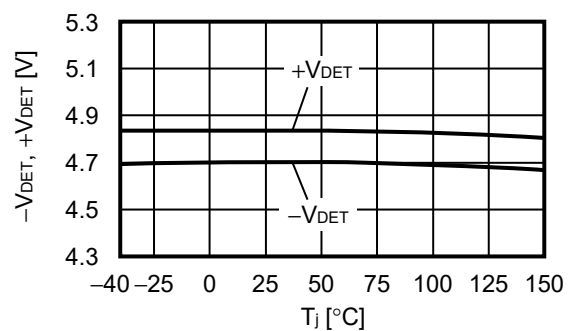
2. 检测器部分

2.1 检测电压、解除电压 – 结点温度

2.1.1 $-V_{DET} = 2.6\text{ V}$

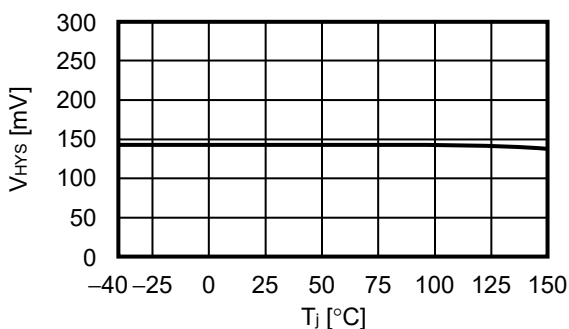


2.1.2 $-V_{DET} = 4.7\text{ V}$

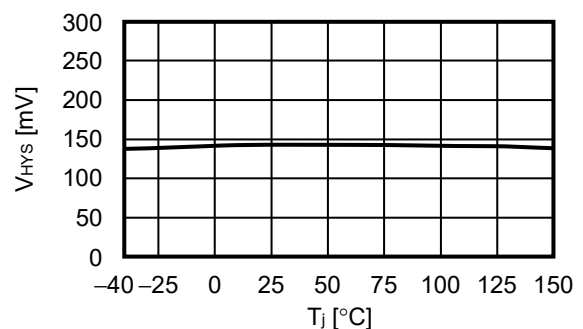


2.2 滞后幅度 – 结点温度

2.2.1 $-V_{DET} = 2.6\text{ V}$

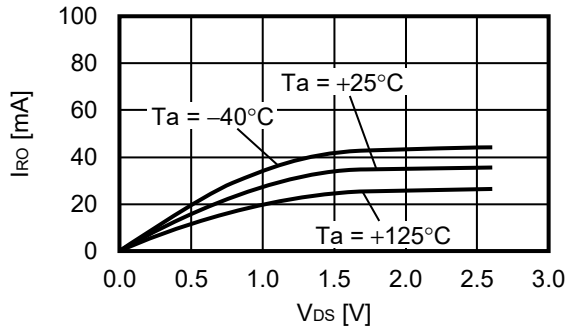


2.2.2 $-V_{DET} = 4.7\text{ V}$

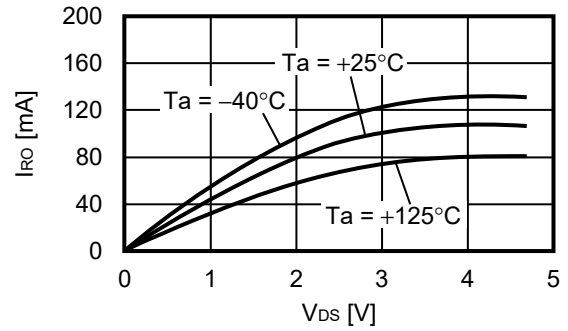


2.3 复位输出电流 - V_{DS}

2.3.1 $-V_{DET} = 2.6\text{ V}$

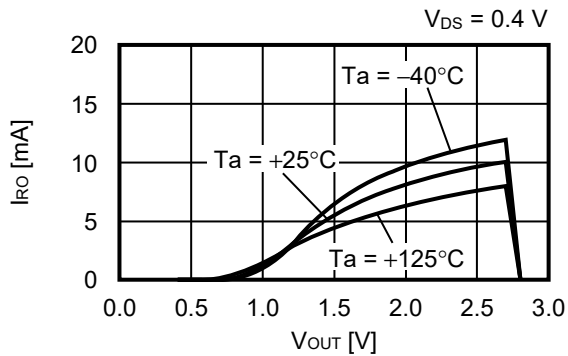


2.3.2 $-V_{DET} = 4.7\text{ V}$

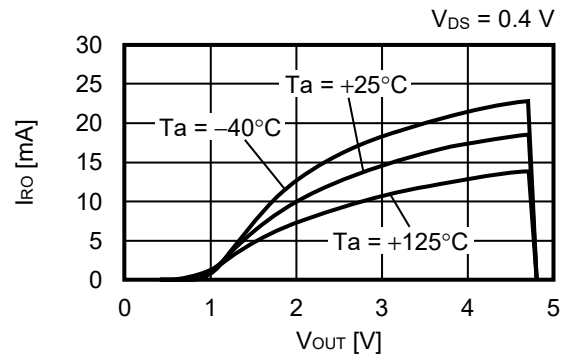


2.4 复位输出电流 - 输出电压

2.4.1 $-V_{DET} = 2.6\text{ V}$

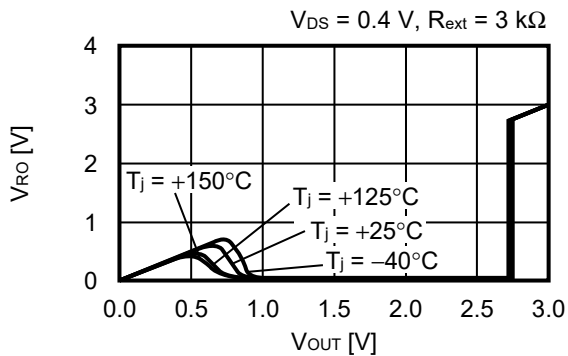


2.4.2 $-V_{DET} = 4.7\text{ V}$

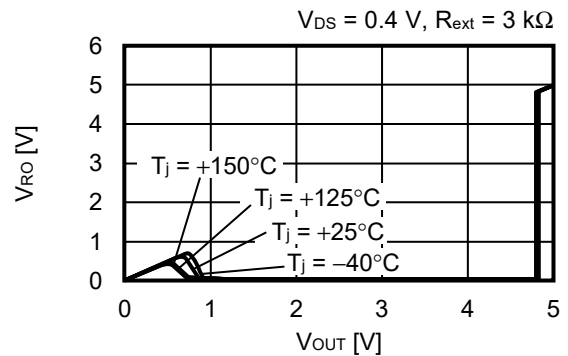


2.5 RO端子电压 - 输出电压

2.5.1 $-V_{DET} = 2.6\text{ V}$



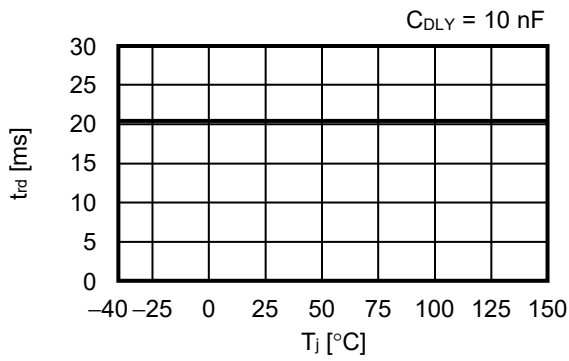
2.5.2 $-V_{DET} = 4.7\text{ V}$



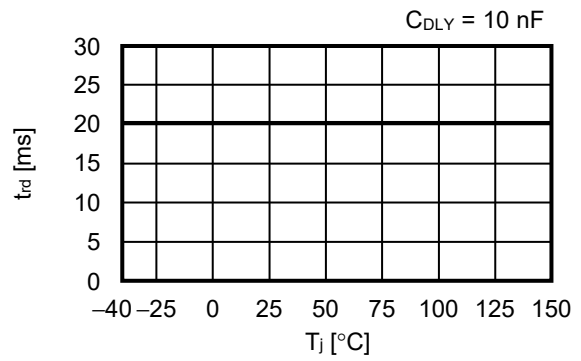
备注 I_{RO} : N沟道晶体管输出电流
 V_{RO} : N沟道晶体管输出电压
 V_{DS} : N沟道晶体管的漏极、源极之间的电压

2.6 解除延迟时间 – 结点温度

2.6.1 $-V_{DET} = 2.6\text{ V}$

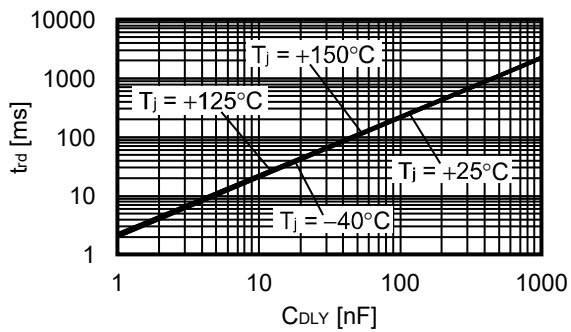


2.6.2 $-V_{DET} = 4.7\text{ V}$

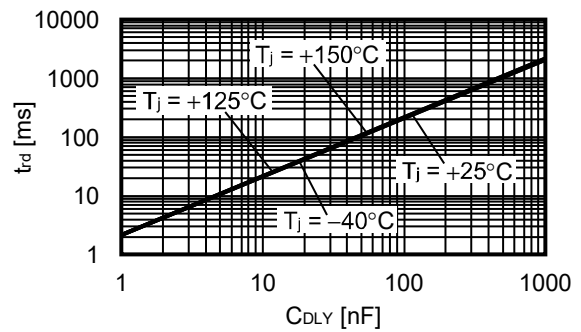


2.7 解除延迟时间 – 解除延迟时间、监视时间调整电容

2.7.1 $-V_{DET} = 2.6\text{ V}$

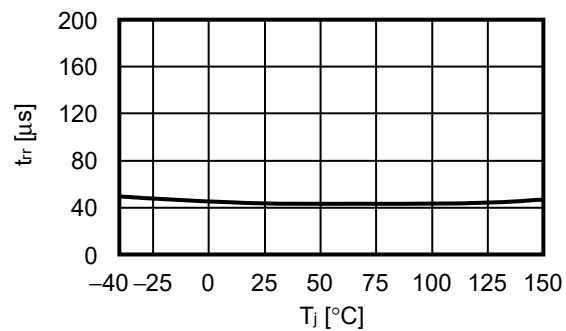


2.7.2 $-V_{DET} = 4.7\text{ V}$

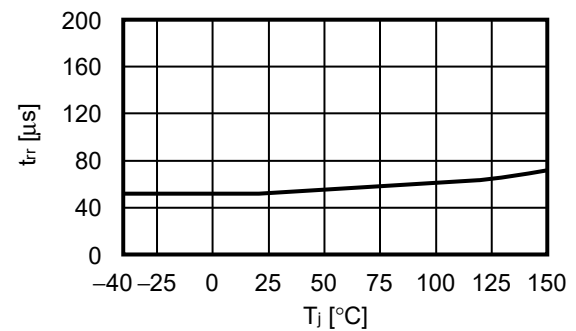


2.8 复位反应时间 – 结点温度

2.8.1 $-V_{DET} = 2.6\text{ V}$



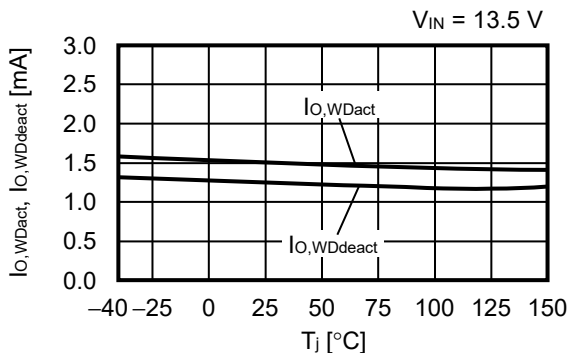
2.8.2 $-V_{DET} = 4.7\text{ V}$



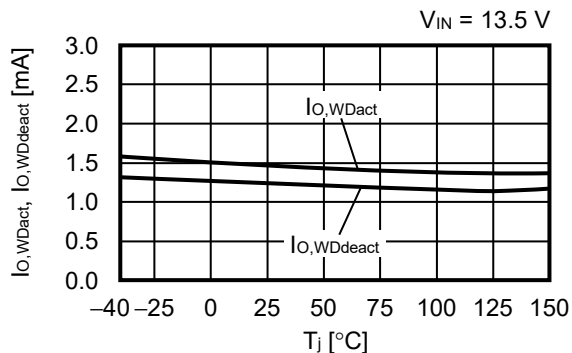
3. 看门狗定时器部分

3.1 看门狗工作阈值电流、看门狗停止阈值电流 – 结点温度

3.1.1 $V_{OUT} = 3.3\text{ V}$

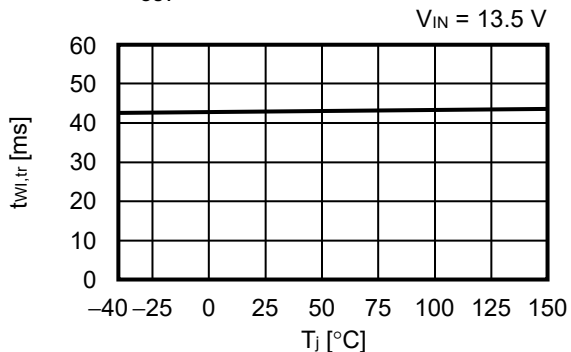


3.1.2 $V_{OUT} = 5.0\text{ V}$

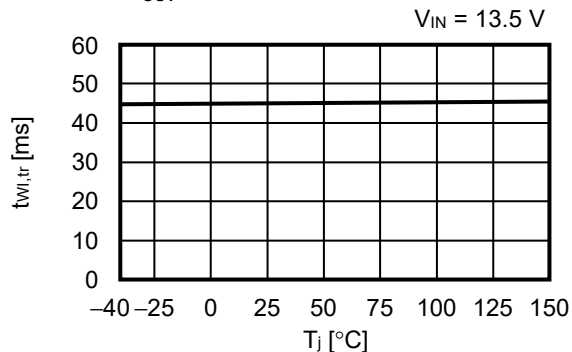


3.2 看门狗触发时间 – 结点温度

3.2.1 $V_{OUT} = 3.3\text{ V}$

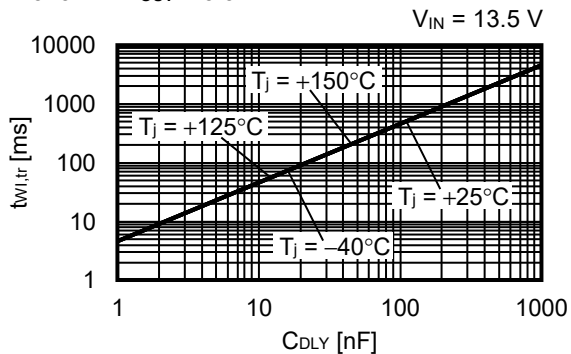


3.2.2 $V_{OUT} = 5.0\text{ V}$

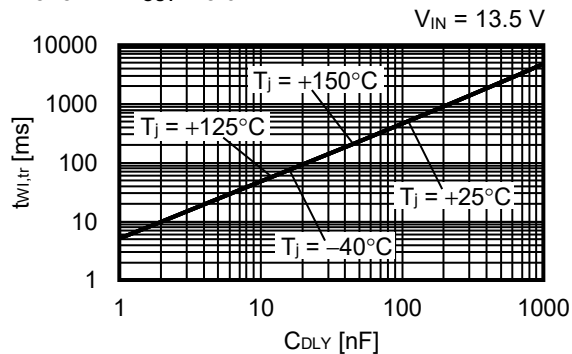


3.3 看门狗触发时间 – 解除延迟时间、监视时间调整电容

3.3.1 $V_{OUT} = 3.3\text{ V}$



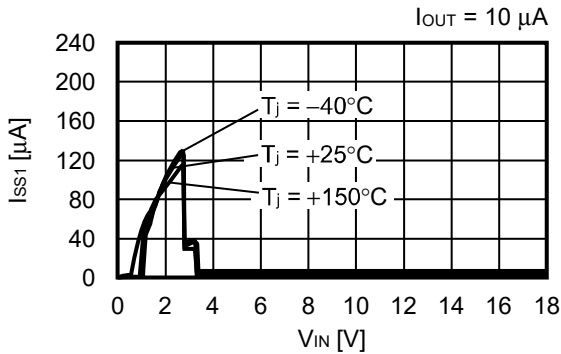
3.3.2 $V_{OUT} = 5.0\text{ V}$



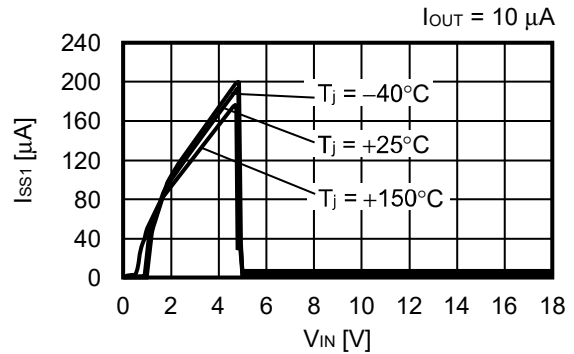
4. 整体

4.1 工作时消耗电流 – 输入电压

4.1.1 $V_{OUT} = 3.3\text{ V}$, $-V_{DET} = 2.6\text{ V}$

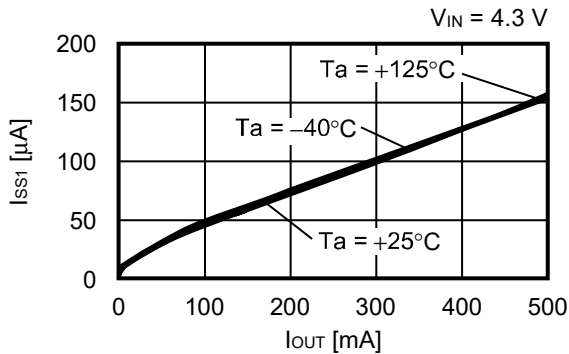


4.1.2 $V_{OUT} = 5.0\text{ V}$, $-V_{DET} = 4.7\text{ V}$

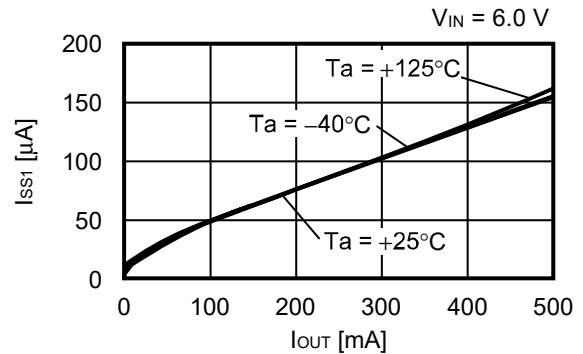


4.2 工作时消耗电流 – 输出电流

4.2.1 $V_{OUT} = 3.3\text{ V}$, $-V_{DET} = 2.6\text{ V}$

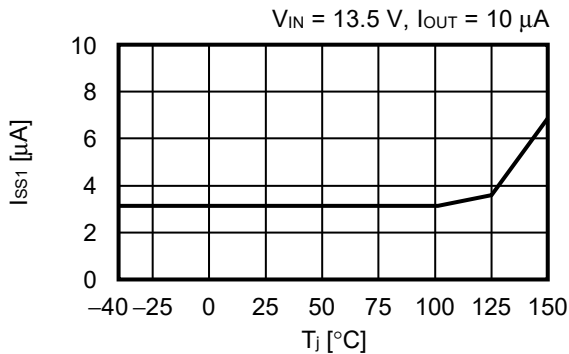


4.2.2 $V_{OUT} = 5.0\text{ V}$, $-V_{DET} = 4.7\text{ V}$

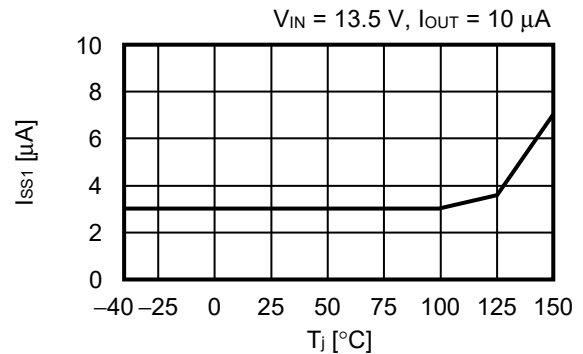


4.3 工作时消耗电流 – 结点温度

4.3.1 $V_{OUT} = 3.3\text{ V}$, $-V_{DET} = 2.6\text{ V}$



4.3.2 $V_{OUT} = 5.0\text{ V}$, $-V_{DET} = 4.7\text{ V}$

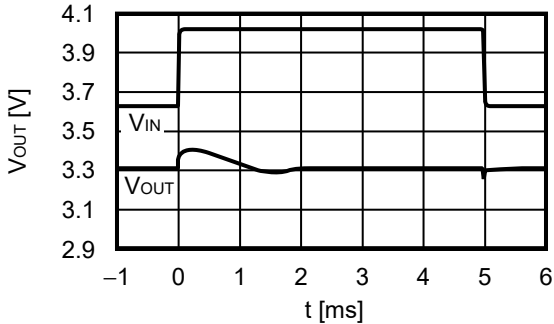


■ 参考数据

1. 输入过渡响应特性 (Ta = +25°C)

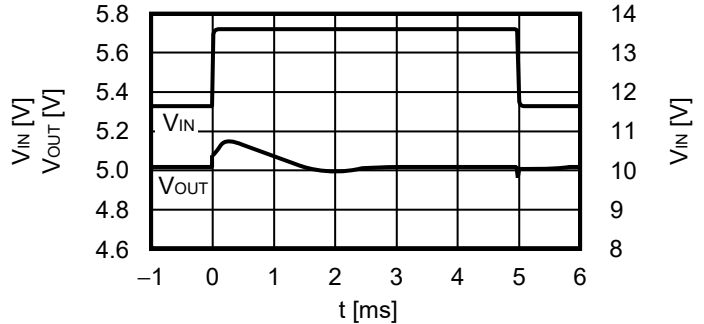
1.1 V_{OUT} = 3.3 V

I_{OUT} = 0.1 mA, C_L = 1.0 μF, V_{IN} = 11.5 V ↔ 13.5 V, t_r = t_f = 5.0 μs



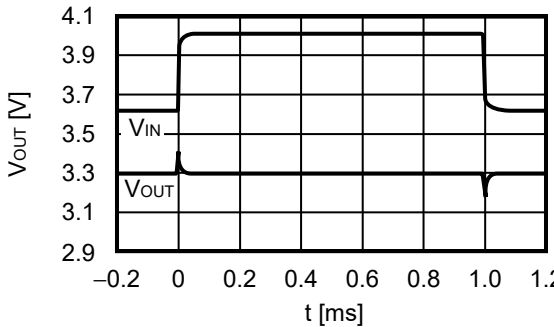
1.2 V_{OUT} = 5.0 V

I_{OUT} = 0.1 mA, C_L = 1.0 μF, V_{IN} = 11.5 V ↔ 13.5 V, t_r = t_f = 5.0 μs



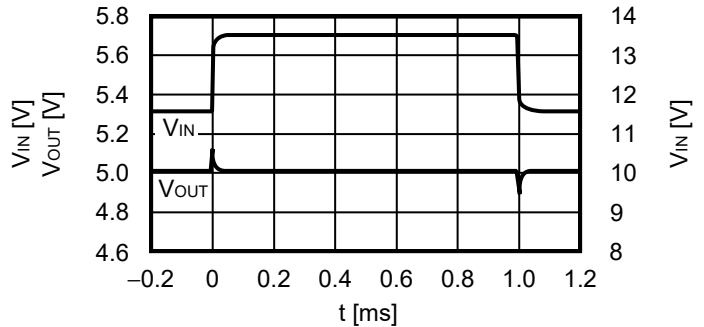
1.3 V_{OUT} = 3.3 V

I_{OUT} = 250 mA, C_L = 1.0 μF, V_{IN} = 11.5 V ↔ 13.5 V, t_r = t_f = 5.0 μs



1.4 V_{OUT} = 5.0 V

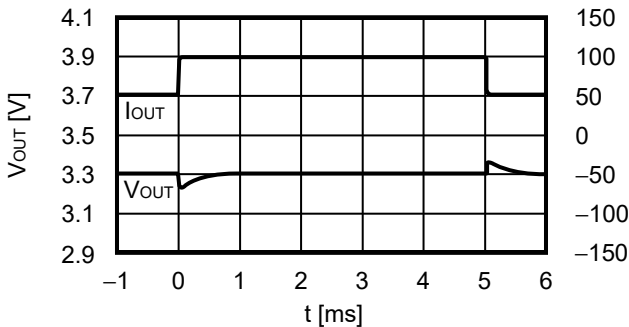
I_{OUT} = 250 mA, C_L = 1.0 μF, V_{IN} = 11.5 V ↔ 13.5 V, t_r = t_f = 5.0 μs



2. 负载过渡响应特性 (Ta = +25°C)

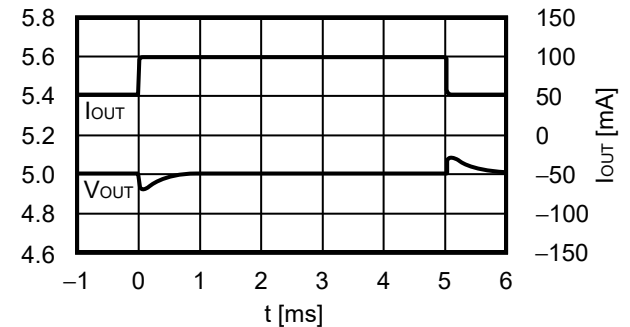
2.1 V_{OUT} = 3.3 V

V_{IN} = 4.3 V, C_L = 1.0 μF, I_{OUT} = 50 mA ↔ 100 mA, t_r = t_f = 1.0 μs



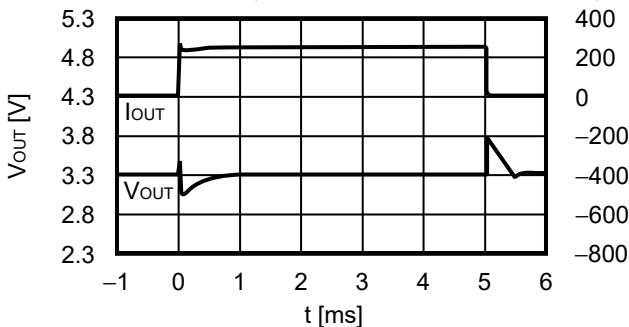
2.2 V_{OUT} = 5.0 V

V_{IN} = 6.0 V, C_L = 1.0 μF, I_{OUT} = 50 mA ↔ 100 mA, t_r = t_f = 1.0 μs



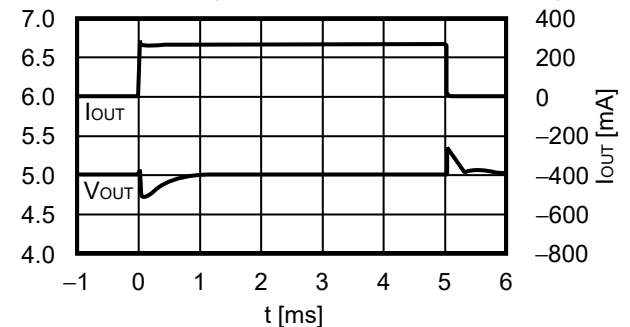
2.3 V_{OUT} = 3.3 V

V_{IN} = 4.3 V, C_L = 1.0 μF, I_{OUT} = 1 mA ↔ 250 mA, t_r = t_f = 1.0 μs



2.4 V_{OUT} = 5.0 V

V_{IN} = 6.0 V, C_L = 1.0 μF, I_{OUT} = 1 mA ↔ 250 mA, t_r = t_f = 1.0 μs

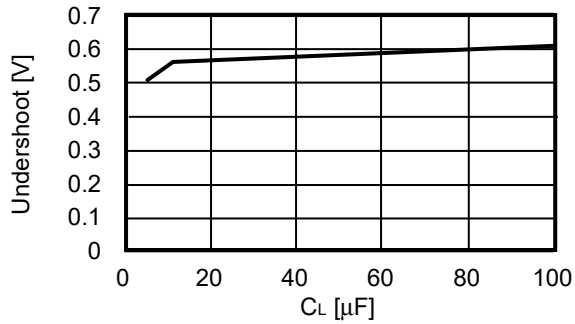


3. 负载过渡响应的电容依存特性 (Ta = +25°C)

3.1 V_{OUT} = 3.3 V

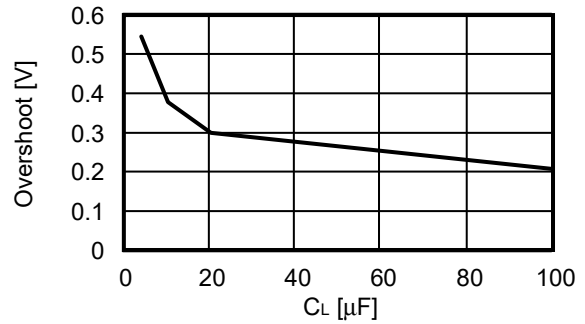
3.1.1 I_{OUT} = 1.0 mA → 500 mA

V_{IN} = 4.3 V, C_{IN} = 1.0 μF, t_r = t_f = 1.0 μs



3.1.2 I_{OUT} = 500 mA → 1.0 mA

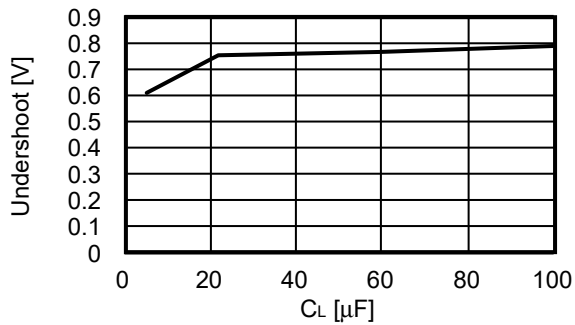
V_{IN} = 4.3 V, C_{IN} = 1.0 μF, t_r = t_f = 1.0 μs



3.2 V_{OUT} = 5.0 V

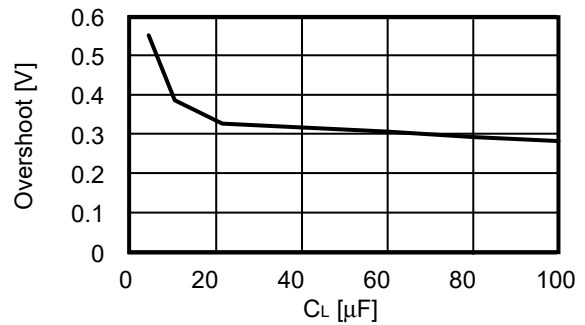
3.2.1 I_{OUT} = 1.0 mA → 500 mA

V_{IN} = 6.0 V, C_{IN} = 1.0 μF, t_r = t_f = 1.0 μs



3.2.2 I_{OUT} = 500 mA → 1.0 mA

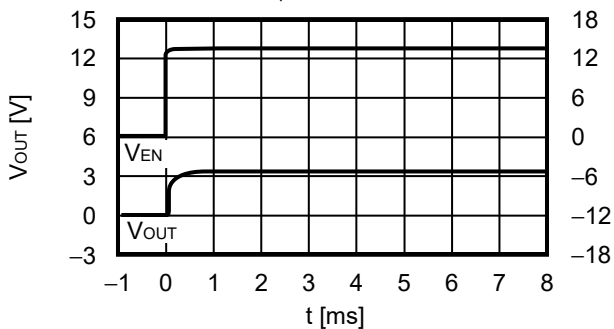
V_{IN} = 6.0 V, C_{IN} = 1.0 μF, t_r = t_f = 1.0 μs



4. EN端子过渡响应特性 (Ta = +25°C)

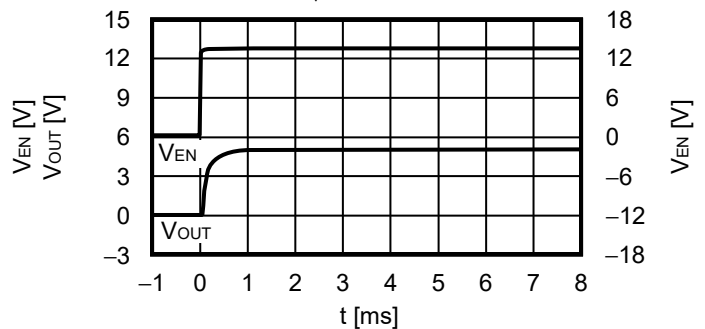
4.1 V_{OUT} = 3.3 V

V_{IN} = 13.5 V, C_L = 1.0 μF, I_{OUT} = 100 mA, V_{EN} = 0 V ↔ 13.5 V



4.2 V_{OUT} = 5.0 V

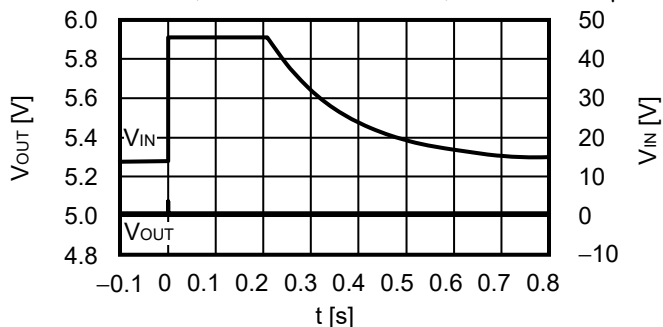
V_{IN} = 13.5 V, C_L = 1.0 μF, I_{OUT} = 100 mA, V_{EN} = 0 V ↔ 13.5 V



5. 抛负载特性 (Ta = +25°C)

5.1 V_{OUT} = 5.0 V

I_{OUT} = 0.1 mA, V_{IN} = 14.0 V ↔ 45.0 V, C_{IN} = C_L = 1.0 μF



6. 等效串联电阻 – 输出电流特性例 (Ta = -40°C ~ +125°C)

C_{IN} = C_L = 1.0 μF, C_{DLY} = 10 nF

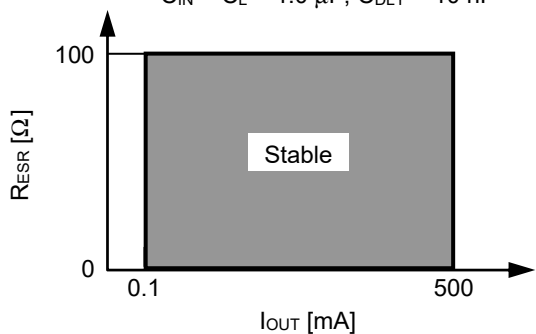
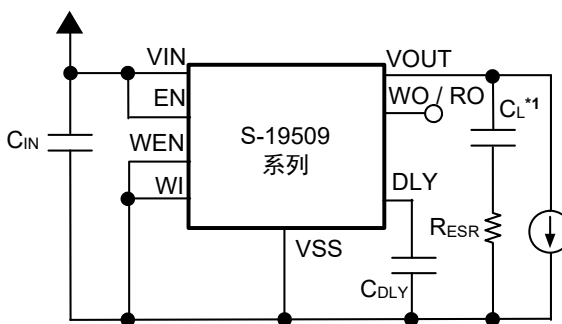


图28

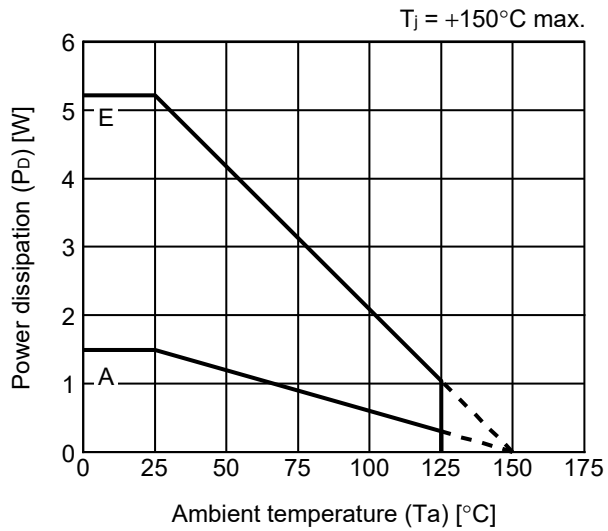


*1. C_L: TDK Corporation CGA5L3X8R1H105K (1.0 μF)

图29

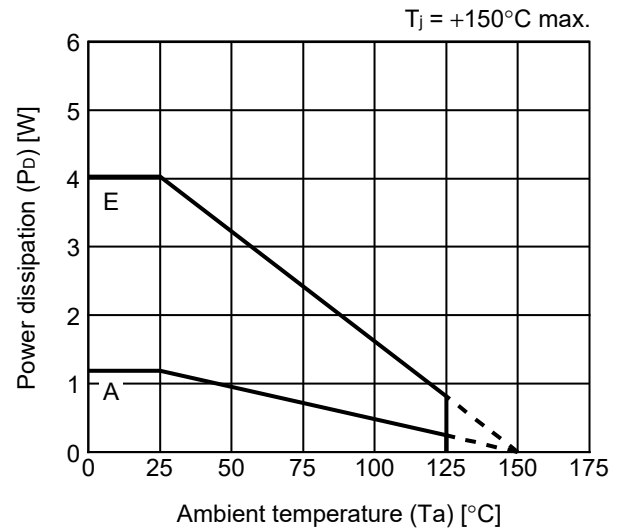
Power Dissipation

TO-252-9S



Board	Power Dissipation (P_D)*1
A	1.49 W
B	–
C	–
D	–
E	5.21 W

HSOP-8A



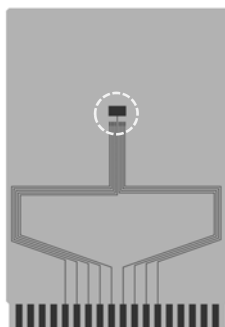
Board	Power Dissipation (P_D)*1
A	1.19 W
B	–
C	–
D	–
E	4.03 W

*1. Measurement values when this IC is mounted on each board

TO-252-9S Test Board

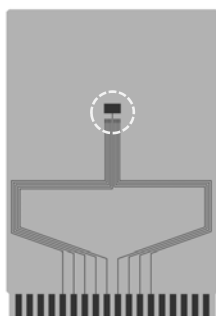
(1) Board A

 IC Mount Area



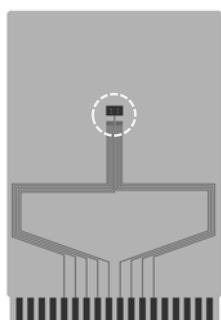
Item		Specification
Size [mm]		114.3 x 76.2 x t1.6
Material		FR-4
Number of copper foil layer		2
Copper foil layer [mm]	1	Land pattern and wiring for testing: t0.070
	2	-
	3	-
	4	74.2 x 74.2 x t0.070
Thermal via		-

(2) Board B



Item		Specification
Size [mm]		114.3 x 76.2 x t1.6
Material		FR-4
Number of copper foil layer		4
Copper foil layer [mm]	1	Land pattern and wiring for testing: t0.070
	2	74.2 x 74.2 x t0.035
	3	74.2 x 74.2 x t0.035
	4	74.2 x 74.2 x t0.070
Thermal via		-

(3) Board C



Item		Specification
Size [mm]		114.3 x 76.2 x t1.6
Material		FR-4
Number of copper foil layer		4
Copper foil layer [mm]	1	Land pattern and wiring for testing: t0.070
	2	74.2 x 74.2 x t0.035
	3	74.2 x 74.2 x t0.035
	4	74.2 x 74.2 x t0.070
Thermal via		Number: 4 Diameter: 0.3 mm




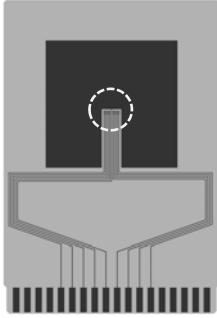
enlarged view

No. TO252-9S-A-Board-SD-1.0

TO-252-9S Test Board

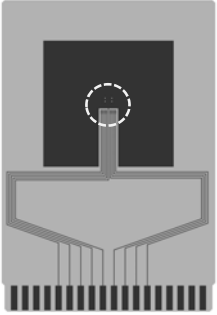
(4) Board D

 IC Mount Area



Item		Specification
Size [mm]		114.3 x 76.2 x t1.6
Material		FR-4
Number of copper foil layer		4
Copper foil layer [mm]	1	Pattern for heat radiation: 2000mm ² t0.070
	2	74.2 x 74.2 x t0.035
	3	74.2 x 74.2 x t0.035
	4	74.2 x 74.2 x t0.070
Thermal via		-

(5) Board E



Item		Specification
Size [mm]		114.3 x 76.2 x t1.6
Material		FR-4
Number of copper foil layer		4
Copper foil layer [mm]	1	Pattern for heat radiation: 2000mm ² t0.070
	2	74.2 x 74.2 x t0.035
	3	74.2 x 74.2 x t0.035
	4	74.2 x 74.2 x t0.070
Thermal via		Number: 4 Diameter: 0.3 mm



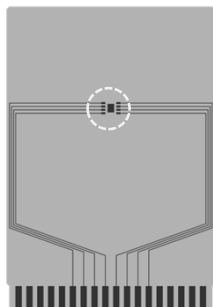
enlarged view

No. TO252-9S-A-Board-SD-1.0

HSOP-8A Test Board

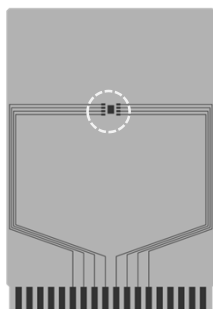
(1) Board A

 IC Mount Area



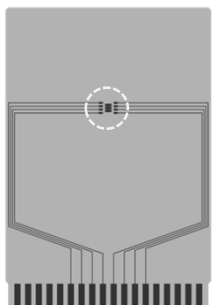
Item	Specification	
Size [mm]	114.3 x 76.2 x t1.6	
Material	FR-4	
Number of copper foil layer	2	
Copper foil layer [mm]	1	Land pattern and wiring for testing: t0.070
	2	-
	3	-
	4	74.2 x 74.2 x t0.070
Thermal via	-	

(2) Board B

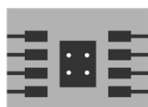


Item	Specification	
Size [mm]	114.3 x 76.2 x t1.6	
Material	FR-4	
Number of copper foil layer	4	
Copper foil layer [mm]	1	Land pattern and wiring for testing: t0.070
	2	74.2 x 74.2 x t0.035
	3	74.2 x 74.2 x t0.035
	4	74.2 x 74.2 x t0.070
Thermal via	-	

(3) Board C



Item	Specification	
Size [mm]	114.3 x 76.2 x t1.6	
Material	FR-4	
Number of copper foil layer	4	
Copper foil layer [mm]	1	Land pattern and wiring for testing: t0.070
	2	74.2 x 74.2 x t0.035
	3	74.2 x 74.2 x t0.035
	4	74.2 x 74.2 x t0.070
Thermal via	Number: 4 Diameter: 0.3 mm	



enlarged view

No. HSOP8A-A-Board-SD-1.0

HSOP-8A Test Board

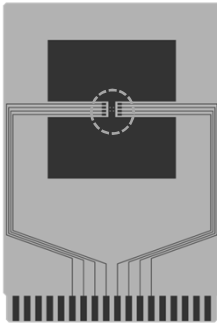
(4) Board D

 IC Mount Area



Item	Specification	
Size [mm]	114.3 x 76.2 x t1.6	
Material	FR-4	
Number of copper foil layer	4	
Copper foil layer [mm]	1	Pattern for heat radiation: 2000mm ² t0.070
	2	74.2 x 74.2 x t0.035
	3	74.2 x 74.2 x t0.035
	4	74.2 x 74.2 x t0.070
Thermal via	-	

(5) Board E

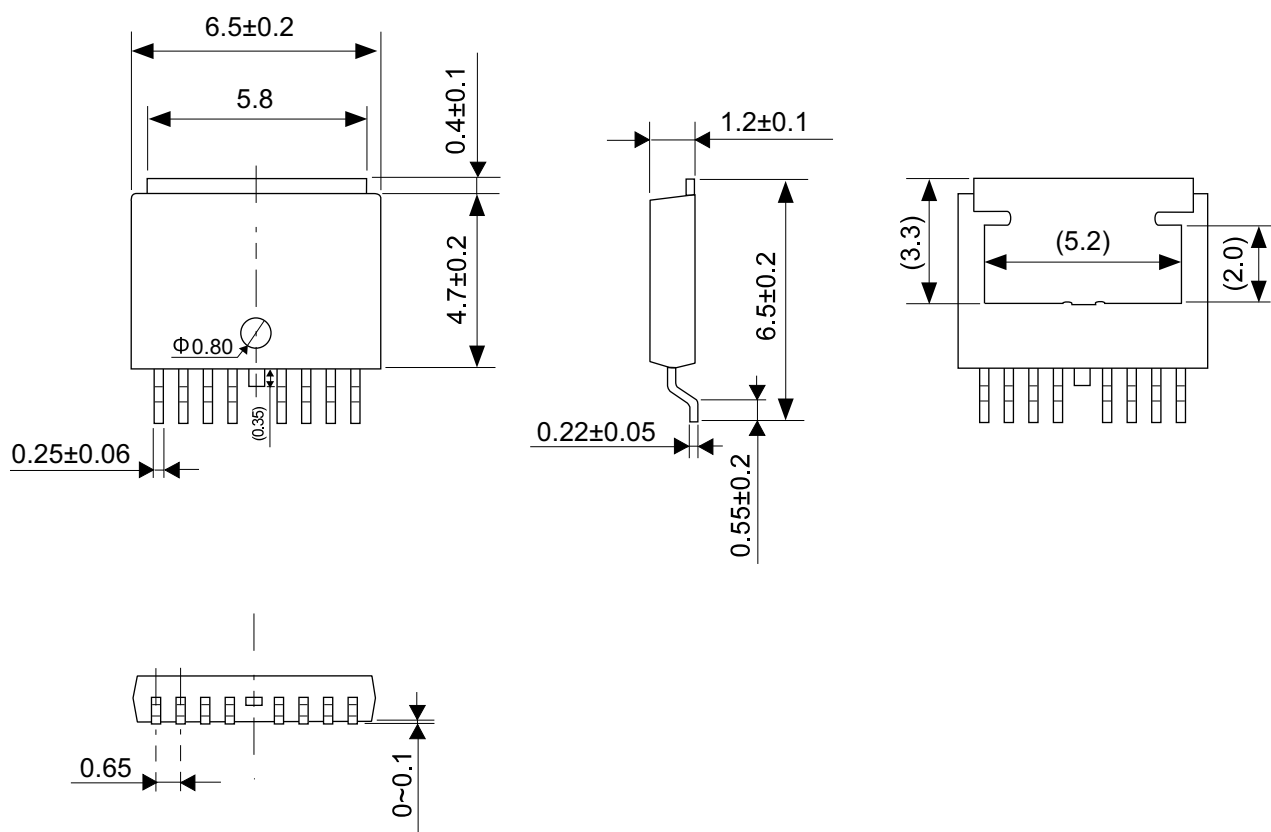


Item	Specification	
Size [mm]	114.3 x 76.2 x t1.6	
Material	FR-4	
Number of copper foil layer	4	
Copper foil layer [mm]	1	Pattern for heat radiation: 2000mm ² t0.070
	2	74.2 x 74.2 x t0.035
	3	74.2 x 74.2 x t0.035
	4	74.2 x 74.2 x t0.070
Thermal via	Number: 4 Diameter: 0.3 mm	



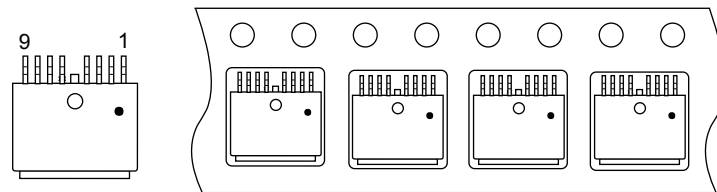
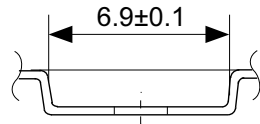
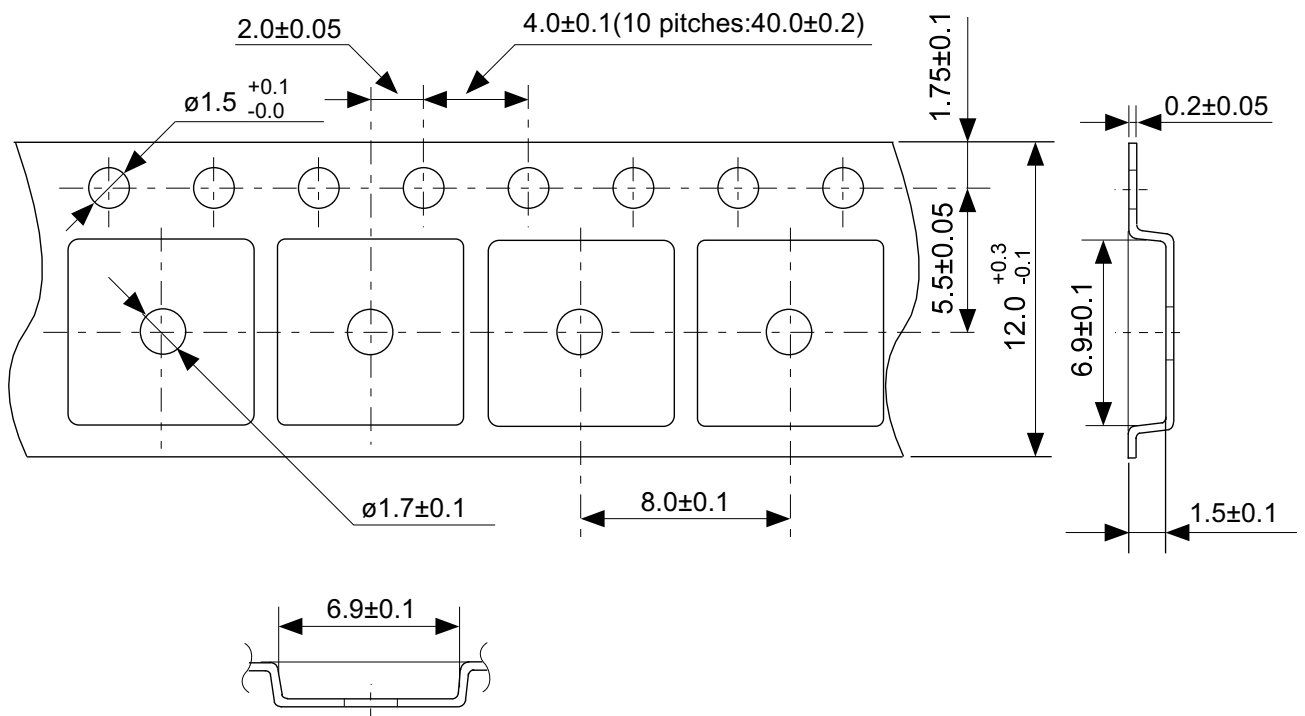
enlarged view

No. HSOP8A-A-Board-SD-1.0



No. VA009-A-P-SD-2.0

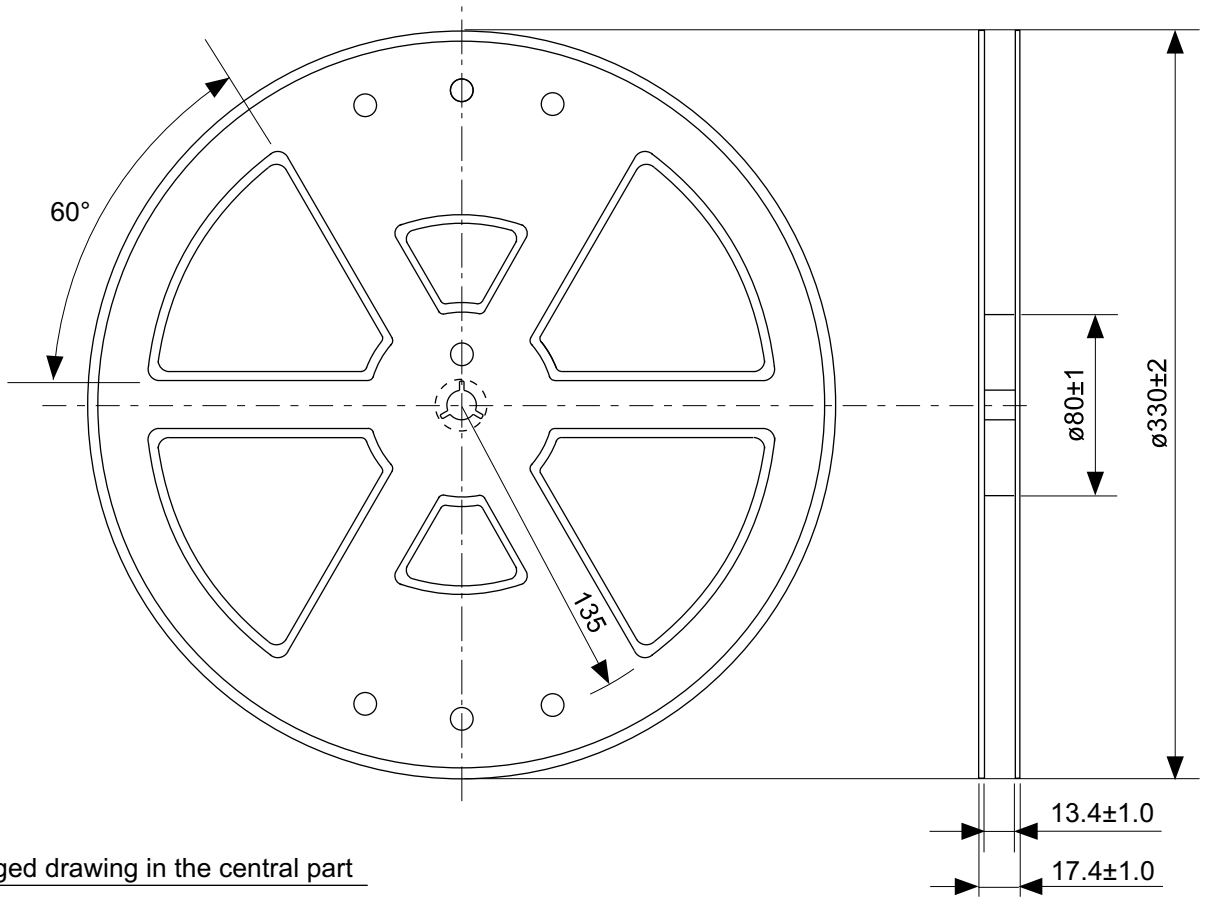
TITLE	TO252-9S-A-PKG Dimensions
No.	VA009-A-P-SD-2.0
ANGLE	
UNIT	mm
ABLIC Inc.	



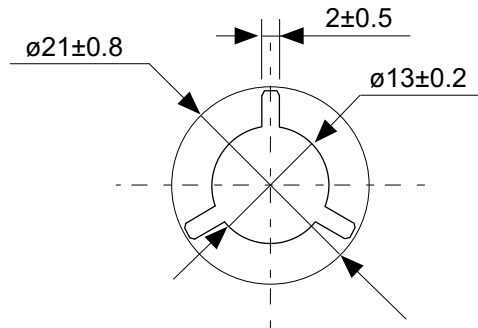
Feed direction →

No. VA009-A-C-SD-1.0

TITLE	TO252-9S-A-Carrier Tape
No.	VA009-A-C-SD-1.0
ANGLE	
UNIT	mm
ABLIC Inc.	

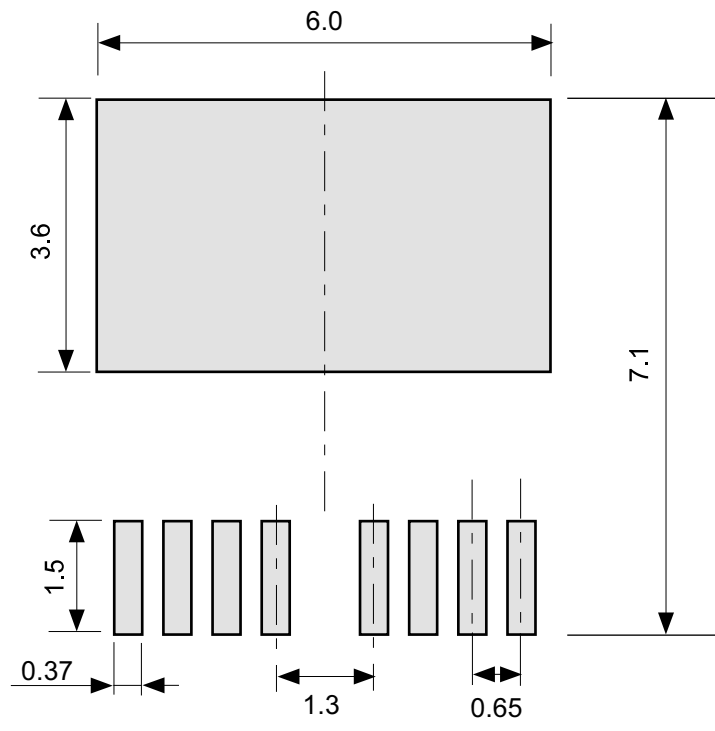


Enlarged drawing in the central part



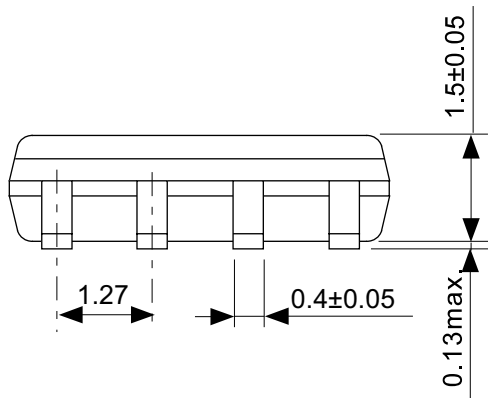
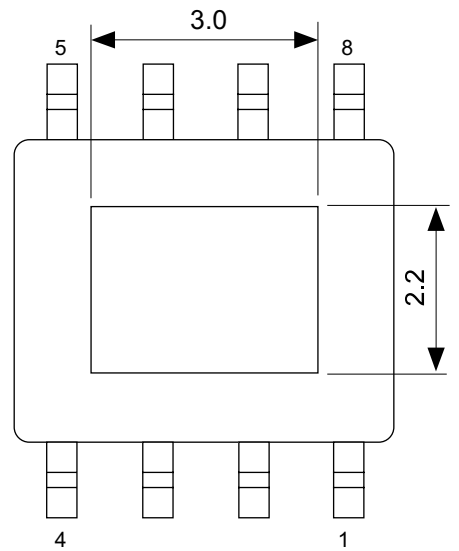
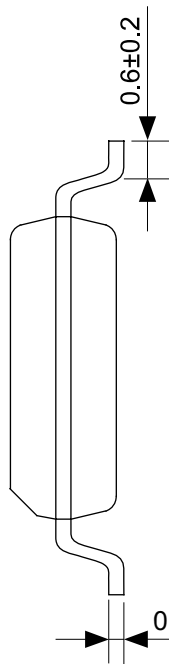
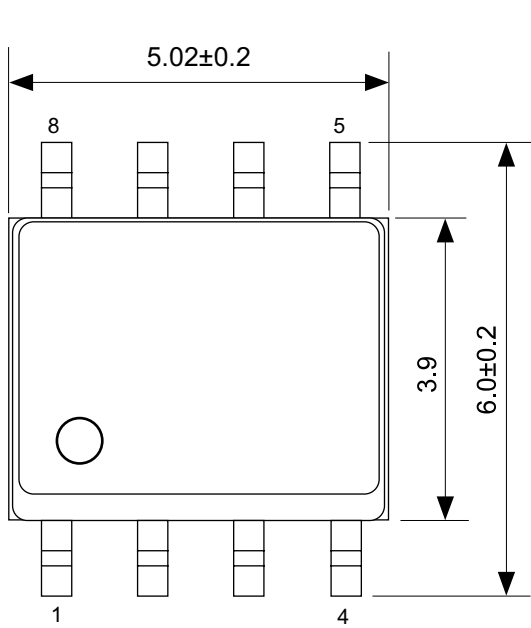
No. VA009-A-R-SD-1.0

TITLE	TO252-9S-A-Reel		
No.	VA009-A-R-SD-1.0		
ANGLE		QTY.	4,000
UNIT	mm		
ABLIC Inc.			



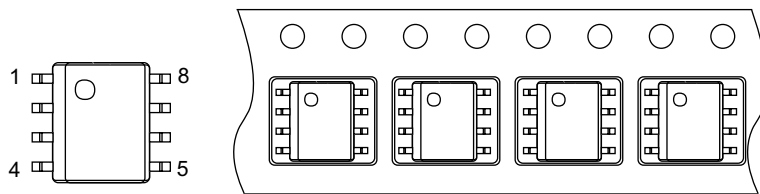
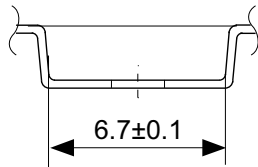
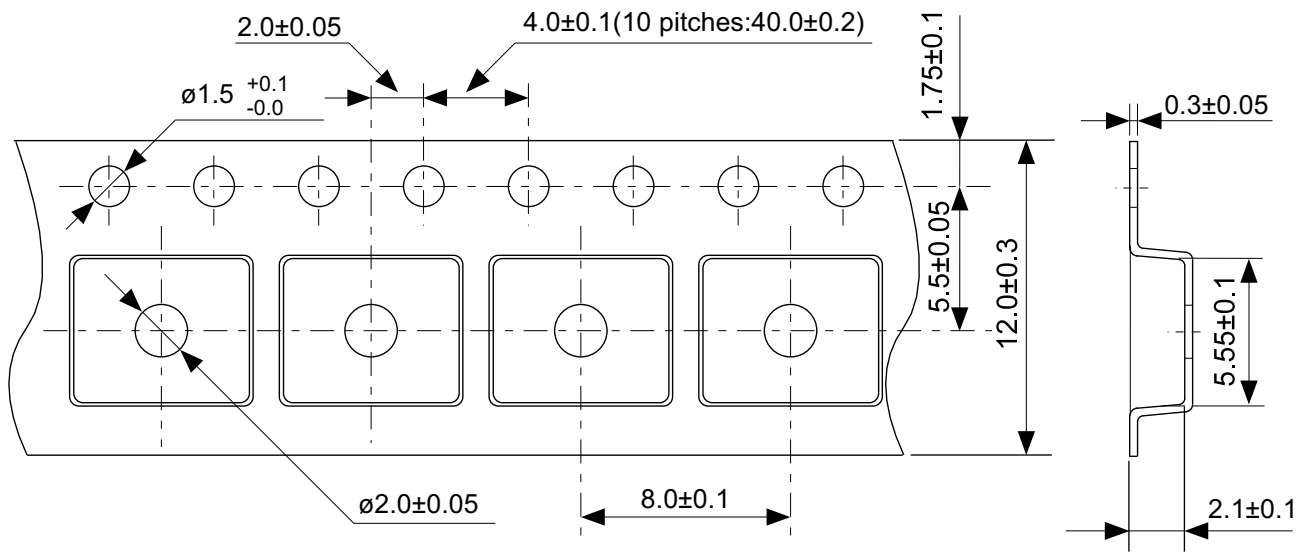
No. VA009-A-L-SD-1.0

TITLE	TO252-9S-A -Land Recommendation
No.	VA009-A-L-SD-1.0
ANGLE	
UNIT	mm
ABLIC Inc.	



No. FH008-A-P-SD-2.0

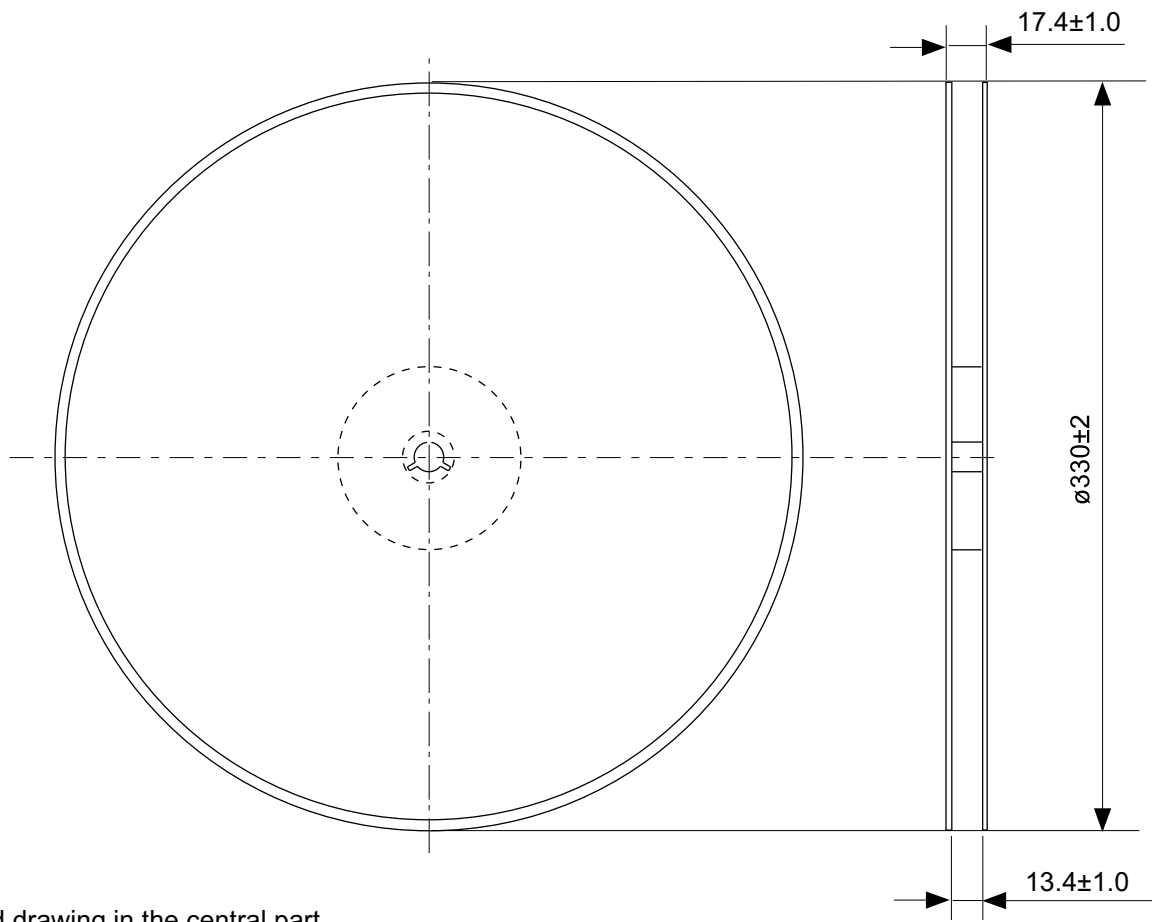
TITLE	HSOP8A-A-PKG Dimensions
No.	FH008-A-P-SD-2.0
ANGLE	
UNIT	mm
ABLIC Inc.	



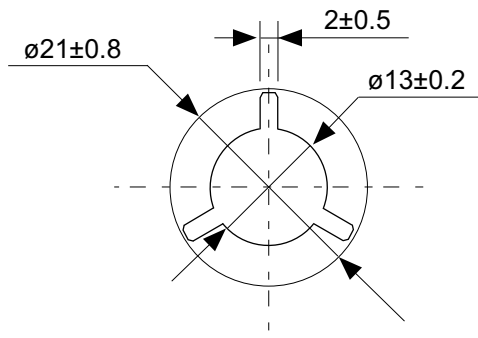
→
Feed direction

No. FH008-A-C-SD-1.0

TITLE	HSOP8A-A-Carrier Tape
No.	FH008-A-C-SD-1.0
ANGLE	
UNIT	mm
ABLIC Inc.	



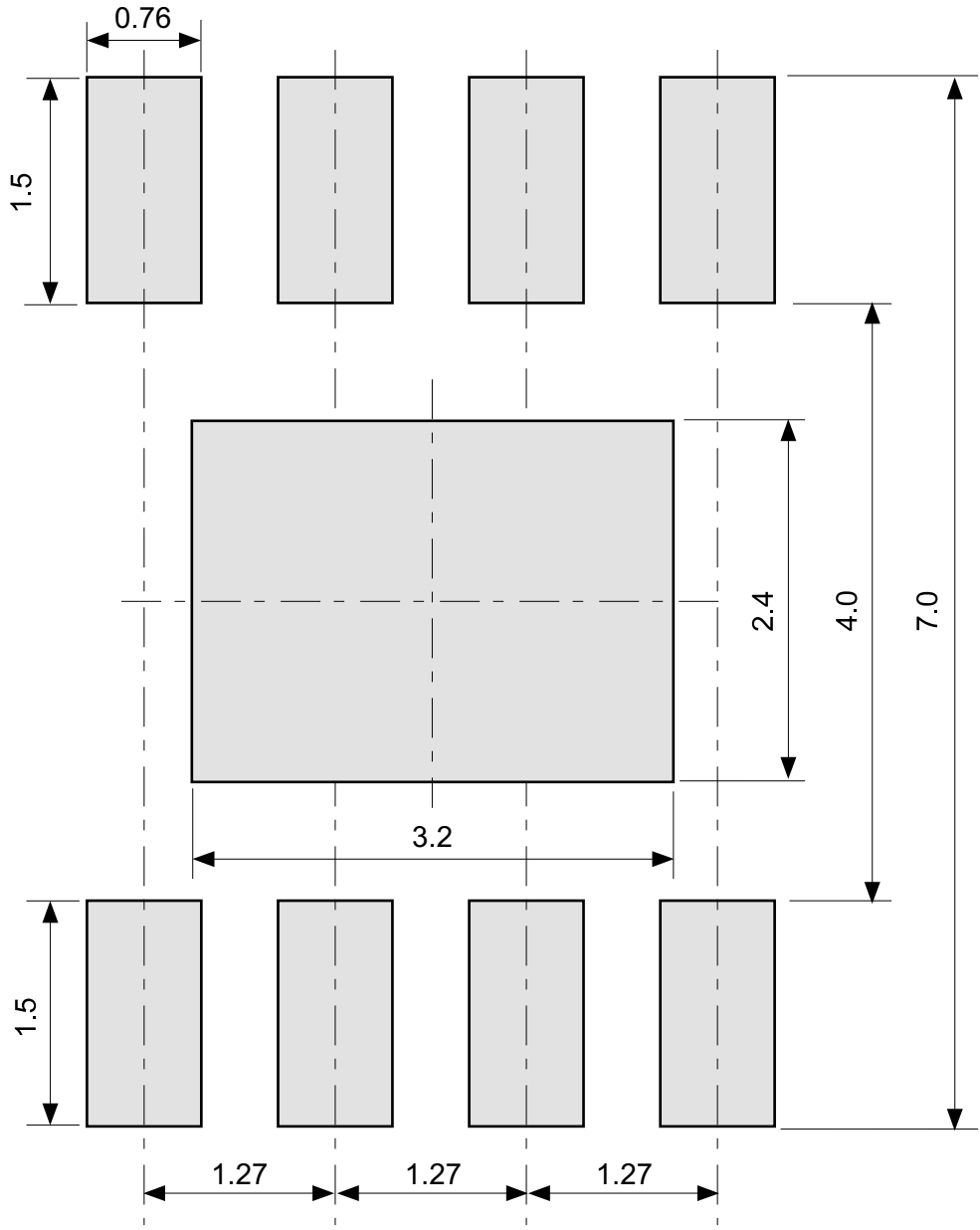
Enlarged drawing in the central part



No. FH008-A-R-SD-1.0

TITLE	HSOP8A-A-Reel		
No.	FH008-A-R-SD-1.0		
ANGLE		QTY.	4,000
UNIT	mm		

ABLIC Inc.



No. FH008-A-L-SD-1.0

TITLE	HSOP8A-A -Land Recommendation
No.	FH008-A-L-SD-1.0
ANGLE	
UNIT	mm
ABLIC Inc.	

免责声明 (使用注意事项)

1. 本资料记载的所有信息 (产品数据、规格、图、表、程序、算法、应用电路示例等) 是本资料公开时的最新信息, 有可能未经预告而更改。
2. 本资料记载的电路示例和使用方法仅供参考, 并非保证批量生产的设计。使用本资料的信息后, 发生并非因本资料记载的产品 (以下称本产品) 而造成的损害, 或是发生对第三方知识产权等权利侵犯情况, 本公司对此概不承担任何责任。
3. 因本资料记载错误而导致的损害, 本公司对此概不承担任何责任。
4. 请注意在本资料记载的条件范围内使用产品, 特别请注意绝对最大额定值、工作电压范围和电气特性等。因在本资料记载的条件范围外使用产品而造成的故障和 (或) 事故等的损害, 本公司对此概不承担任何责任。
5. 在使用本产品时, 请确认使用国家、地区以及用途的法律、法规, 测试产品用途的满足能力和安全性能。
6. 本产品出口海外时, 请遵守外汇交易及外国贸易法等出口法令, 办理必要的相关手续。
7. 严禁将本产品用于以及提供 (出口) 于开发大规模杀伤性武器或军事用途。对于如提供 (出口) 给开发、制造、使用或储藏核武器、生物武器、化学武器及导弹, 或有其他军事目的者的情况, 本公司对此概不承担任何责任。
8. 本产品并非是设计用于可能对生命、人体造成影响的设备或装置的部件, 也非是设计用于可能对财产造成损害的设备或装置的部件 (医疗设备、防灾设备、安全防范设备、燃料控制设备、基础设施控制设备、车辆设备、交通设备、车载设备、航空设备、太空设备及核能设备等)。请勿将本产品用于上述设备或装置的部件。本公司事先明确标示的车载用途例外。作为上述设备或装置的部件使用本产品时, 或本公司事先明确标示的用途以外使用本产品时, 所导致的损害, 本公司对此概不承担任何责任。
9. 半导体产品可能有一定的概率发生故障或误工作。为了防止因本产品的故障或误工作而导致的人身事故、火灾事故、社会性损害等, 请客户自行负责进行冗长设计、防止火势蔓延措施、防止误工作等安全设计。并请对整个系统进行充分的评价, 客户自行判断适用的可否。
10. 本产品非耐放射线设计产品。请客户根据用途, 在产品设计的过程中采取放射线防护措施。
11. 本产品在一般的使用条件下, 不会影响人体健康, 但因含有化学物质和重金属, 所以请不要将其放入口中。另外, 晶元和芯片的破裂面可能比较尖锐, 徒手接触时请注意防护, 以免受伤等。
12. 废弃本产品时, 请遵守使用国家和地区的法令, 合理地处理。
13. 本资料中也包含了与本公司的著作权和专有知识有关的内容。本资料记载的内容并非是对本公司或第三方的知识产权、其它权利的实施及使用的承诺或保证。严禁在未经本公司许可的情况下转载、复制或向第三方公开本资料的一部分或全部。
14. 有关本资料的详细内容等如有不明之处, 请向代理商咨询。
15. 本免责声明以日语版为正本。即使有英语版或中文版的翻译件, 仍以日语版的正本为准。

2.4-2019.07



ABLIC

艾普凌科有限公司
www.ablic.com